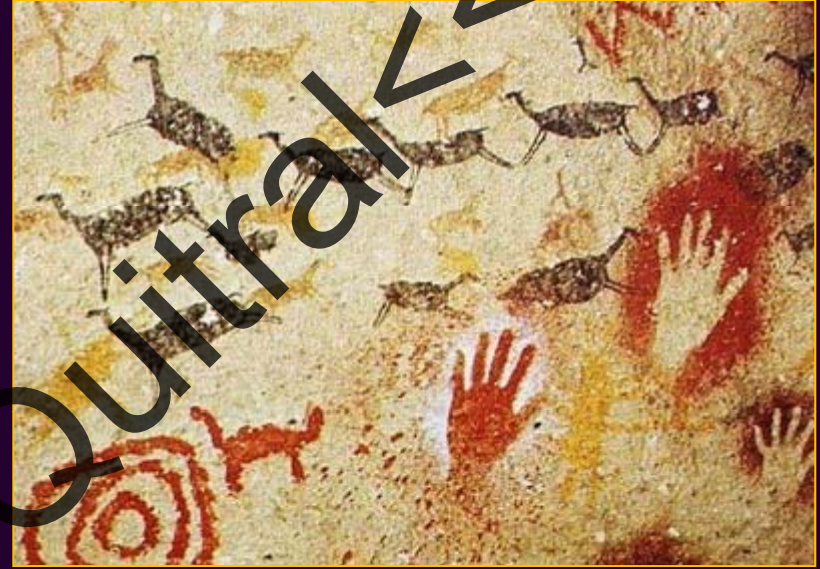




“Biodeterioro, acción de los hongos en la destrucción de nuestro patrimonio”

Yerko Andrés Quitral
Lic. Bioquímica
Bioquímico
Dr(c) Ingeniería Genética Vegetal

Preservar y transmitir la cultura



En Egipto...



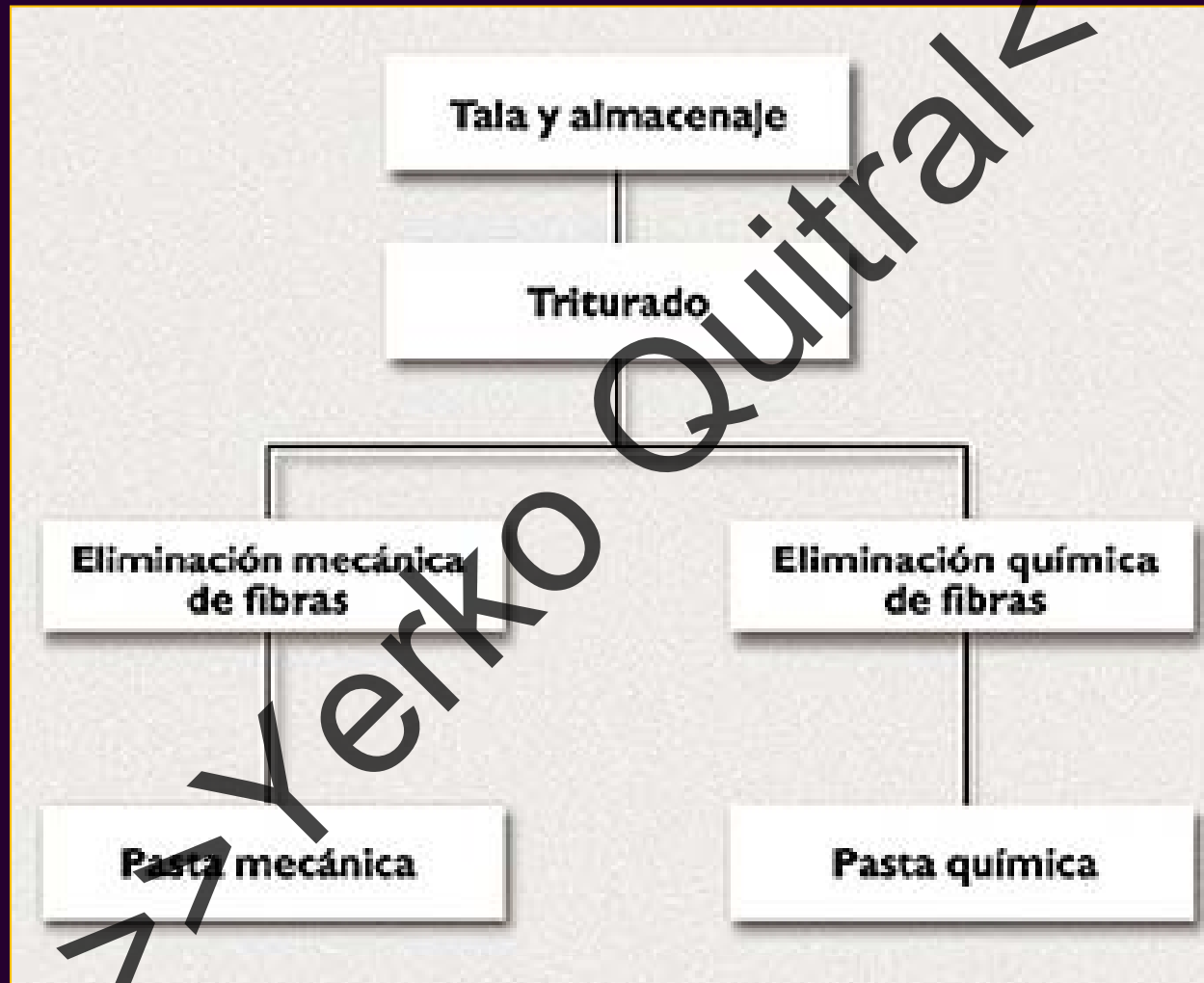
Cyperus papyrus



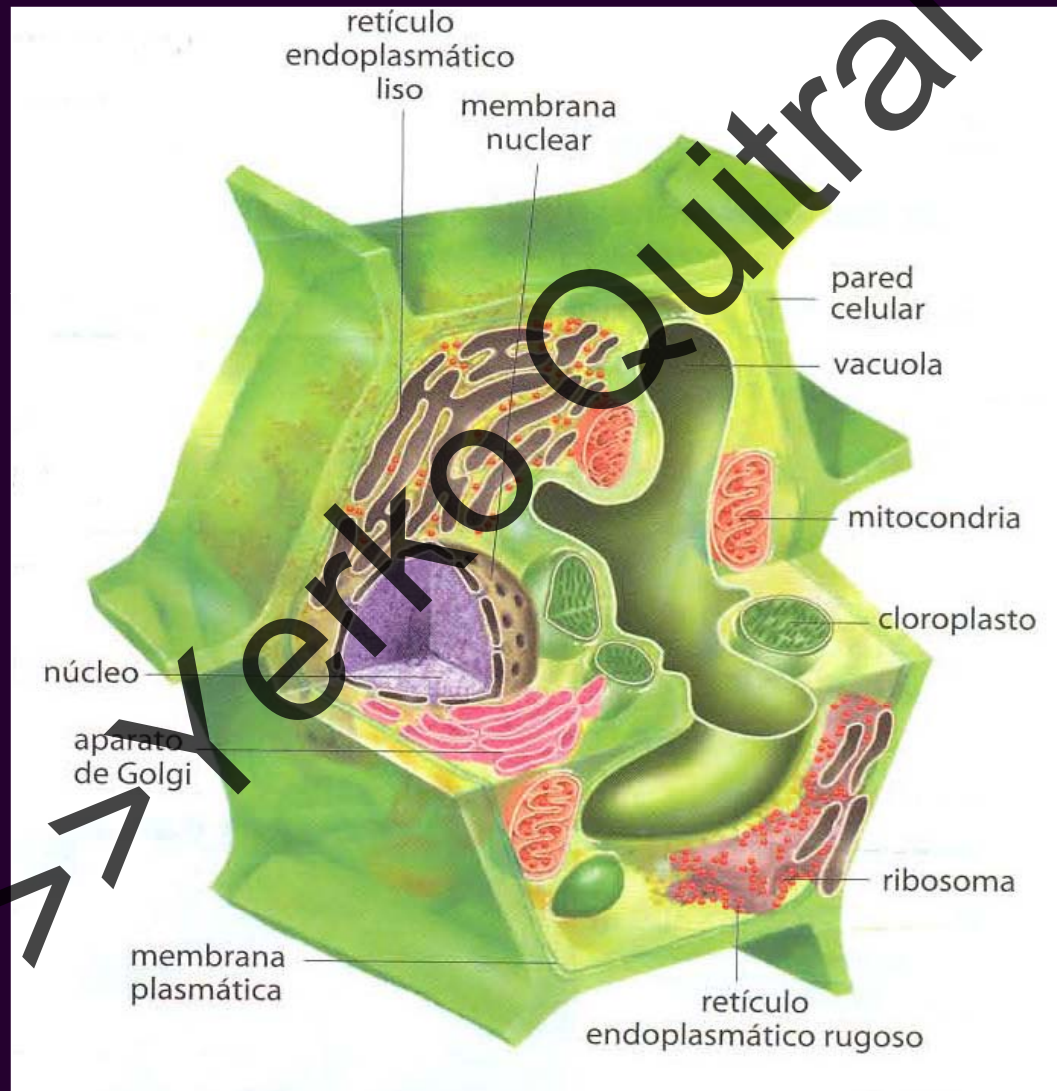
Materia prima utilizada en la elaboración de papel



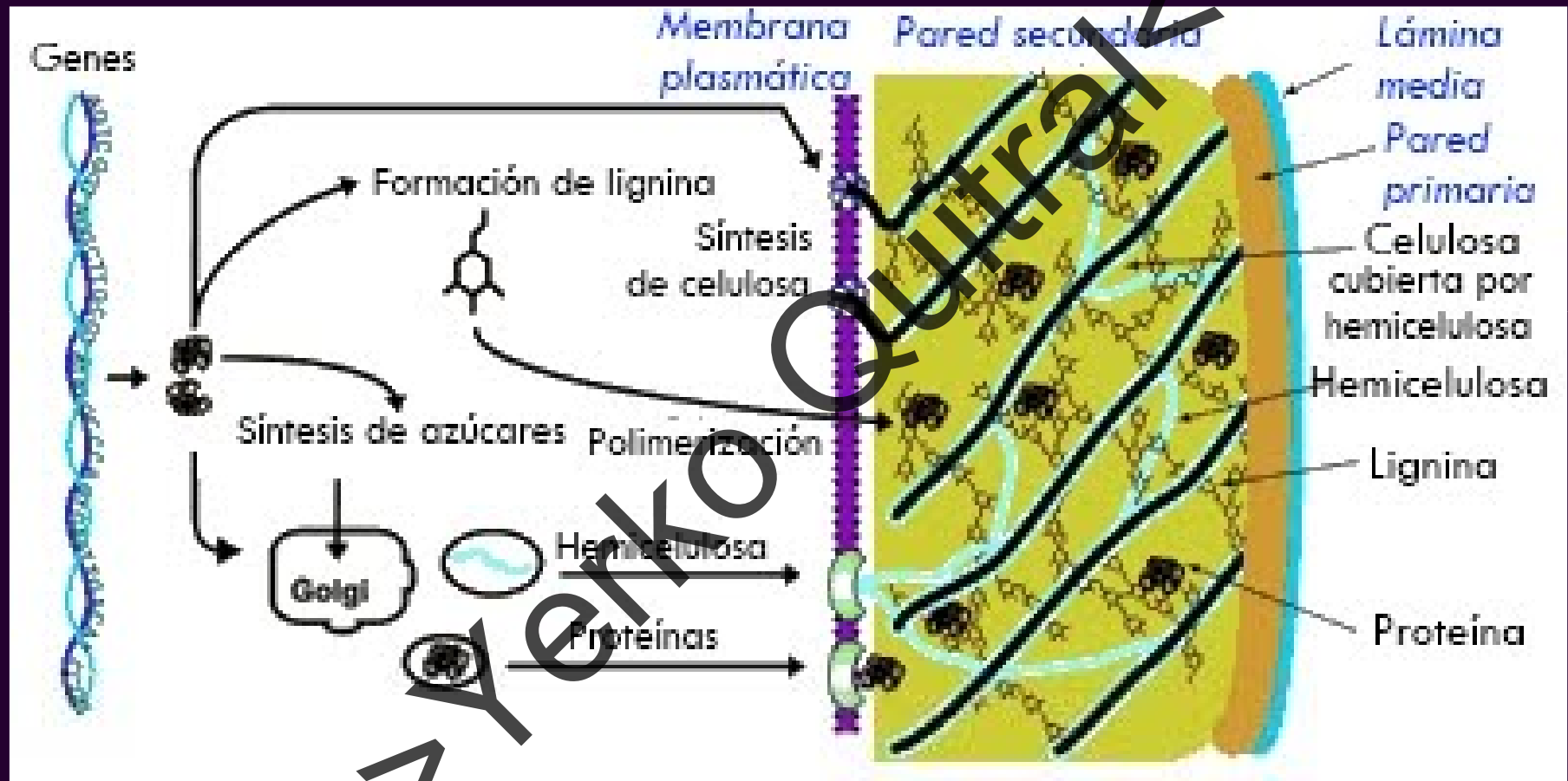
Proceso general en la obtención de papel



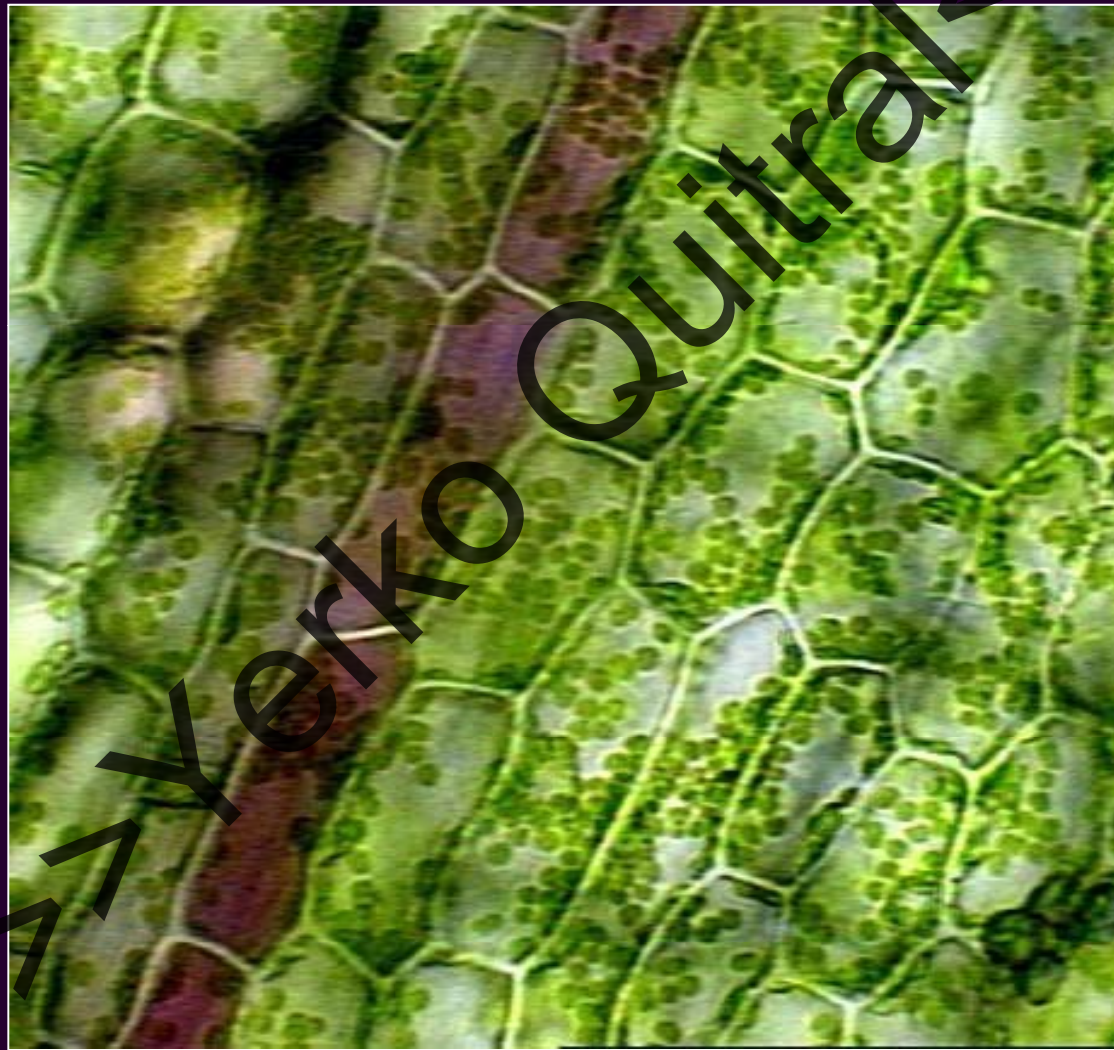
Célula vegetal: materia prima



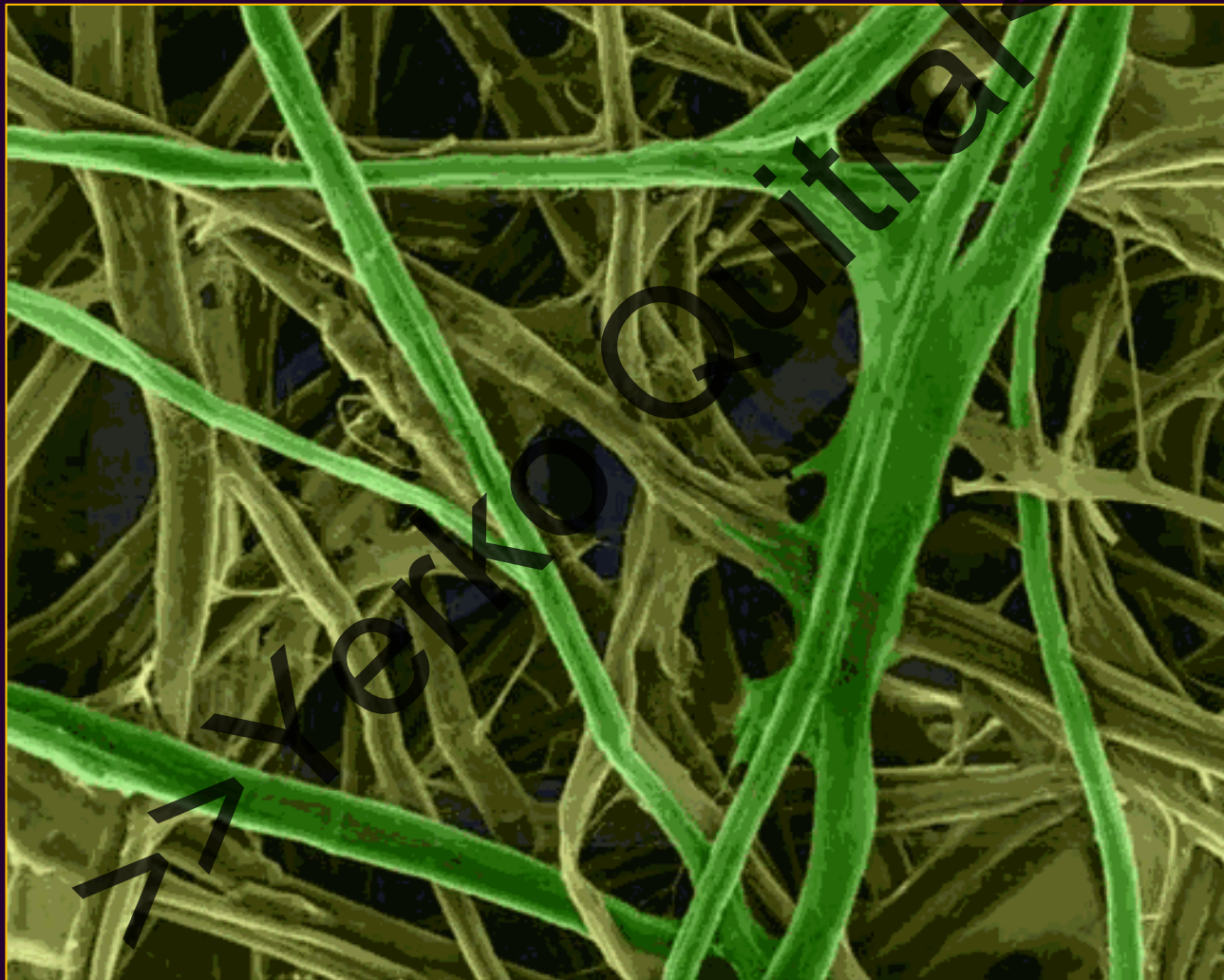
Composición de la pared celular vegetal



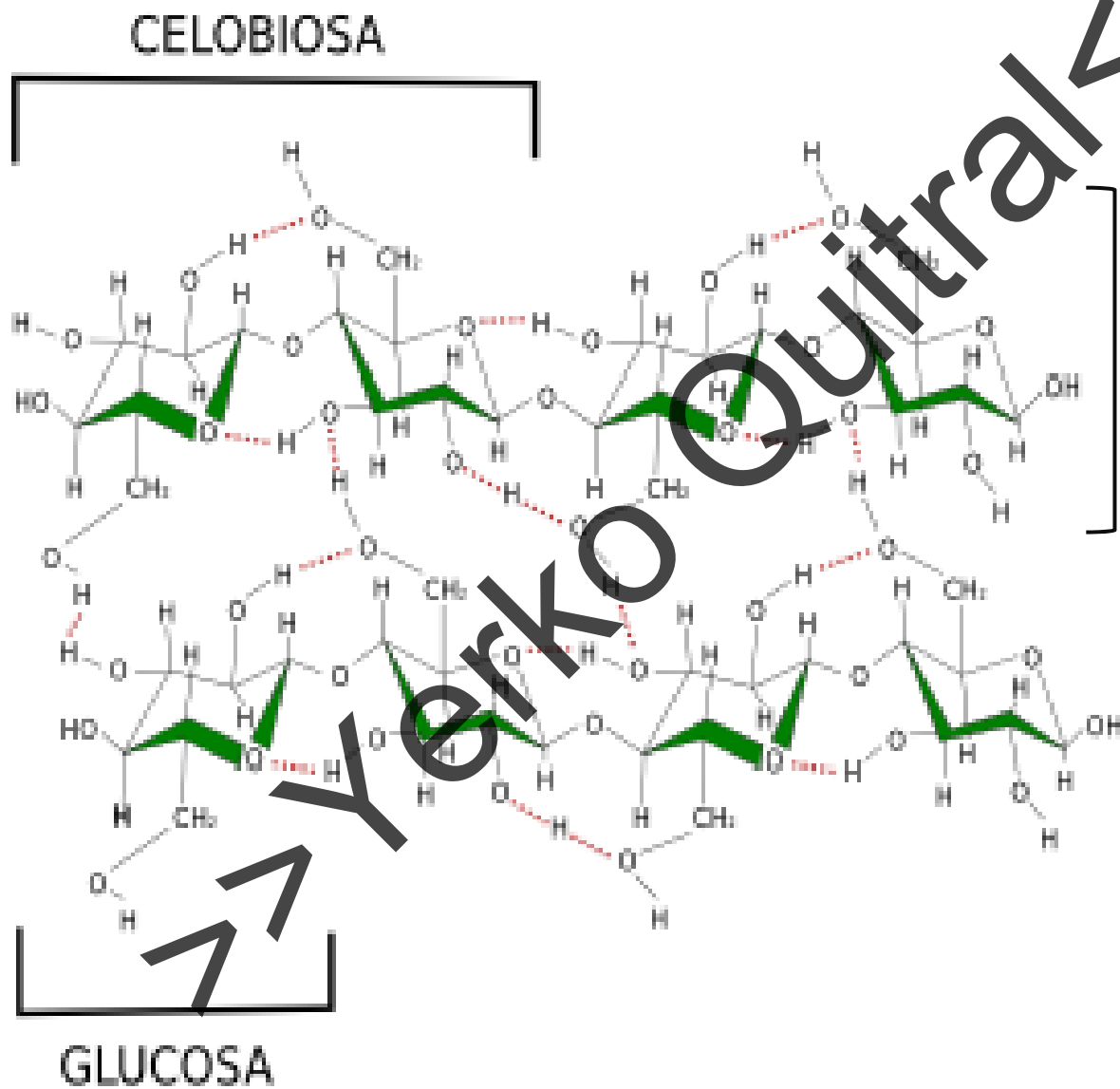
Disposición celular en vegetales, observado mediante
microscopia óptica



Entramado fibrilar de una hoja de papel observado por
microscopia electrónica

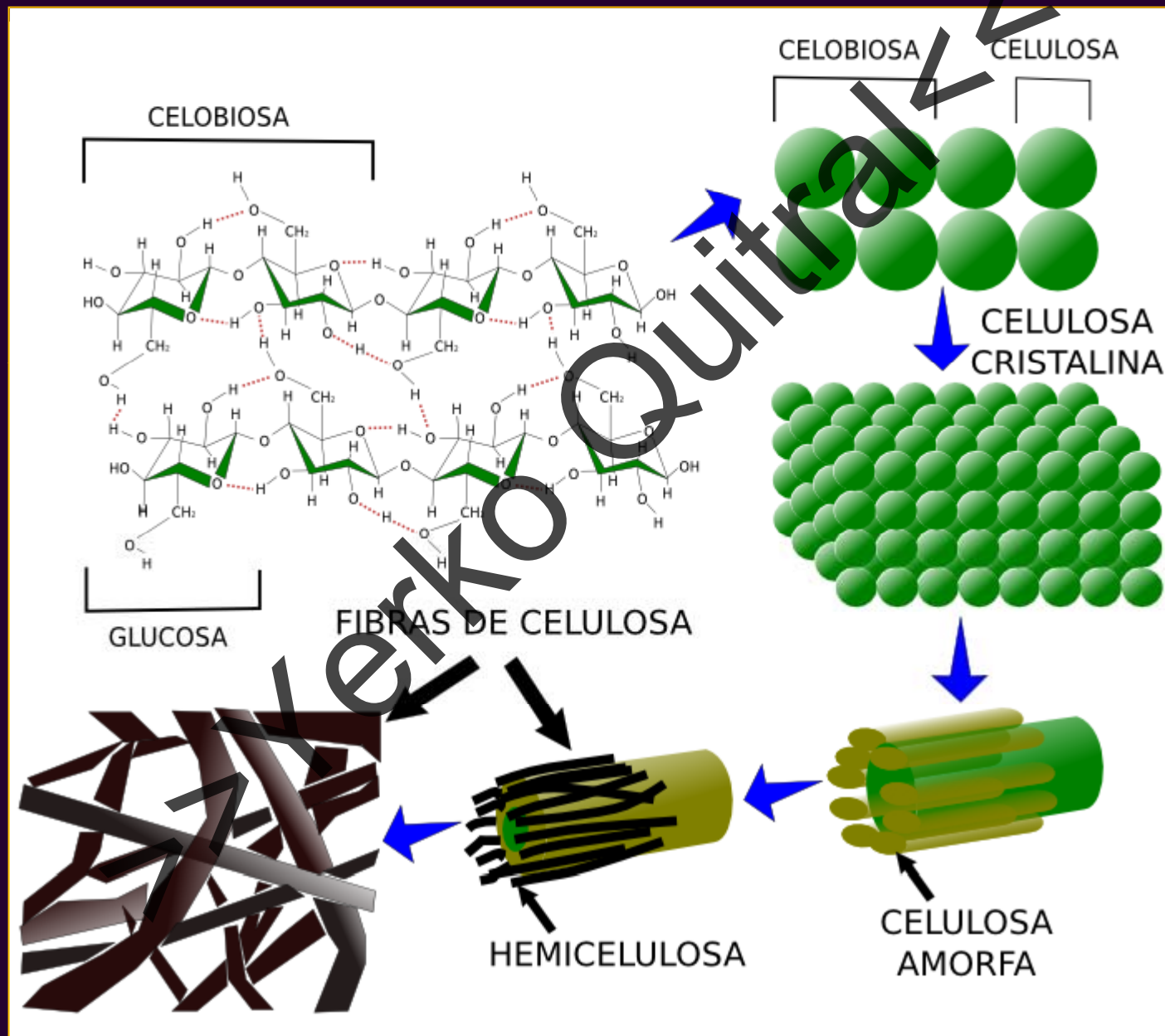


Estructura y Organización de la molécula de Celulosa



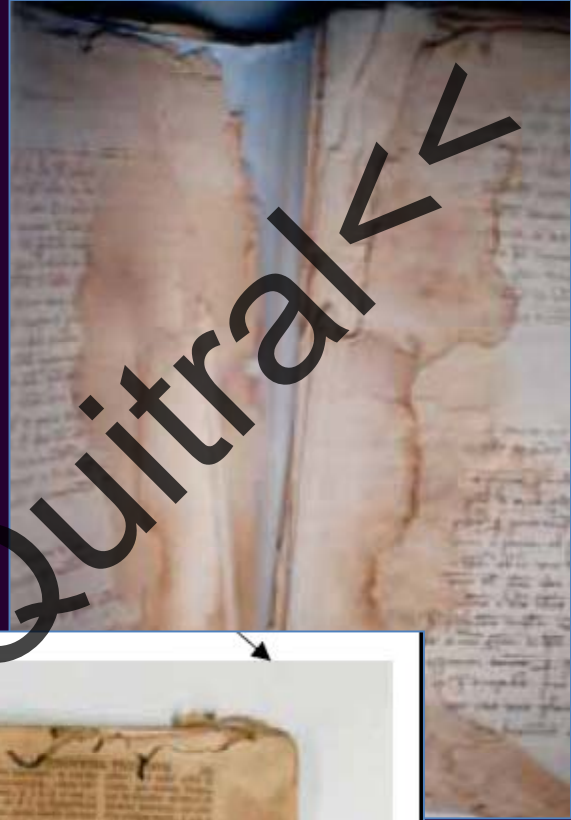
CELULOSA

Organización de fibras de celulosa



Biodeterioro





Yerko Quitrakv

Temperatura

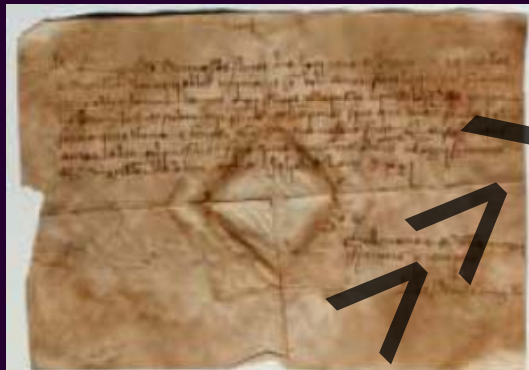


- La temperatura óptima de crecimiento es específico pero oscila entre los 29°C.
- Las hifas mueren cerca de los 40°C.
- Mueren en estado de congelación.

Humedad relativa



- Es el factor más importante en la germinación de micelios
- En humedades altas 75% o más
- Las hifas necesitan Humedad para transportar sus nutrientes
- Para el desarrollo de hongos es necesario un 20% de humedad en el papel.



Luz



- Su accionar no se encuentra aun bien definido.
- Podría involucrarse en la activación de la esporulación en algunos hongos



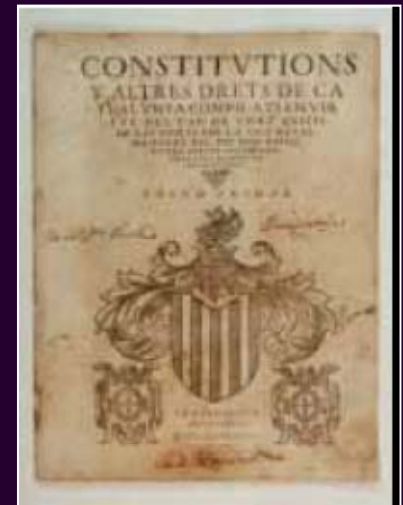
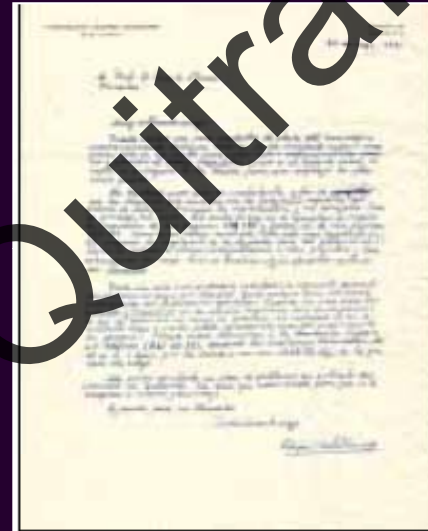
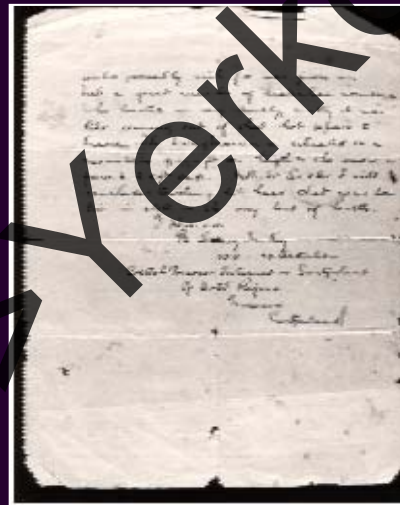
- Siendo esencial para la producción de esporas
- Muy importante en la dispersión de las esporas

pH

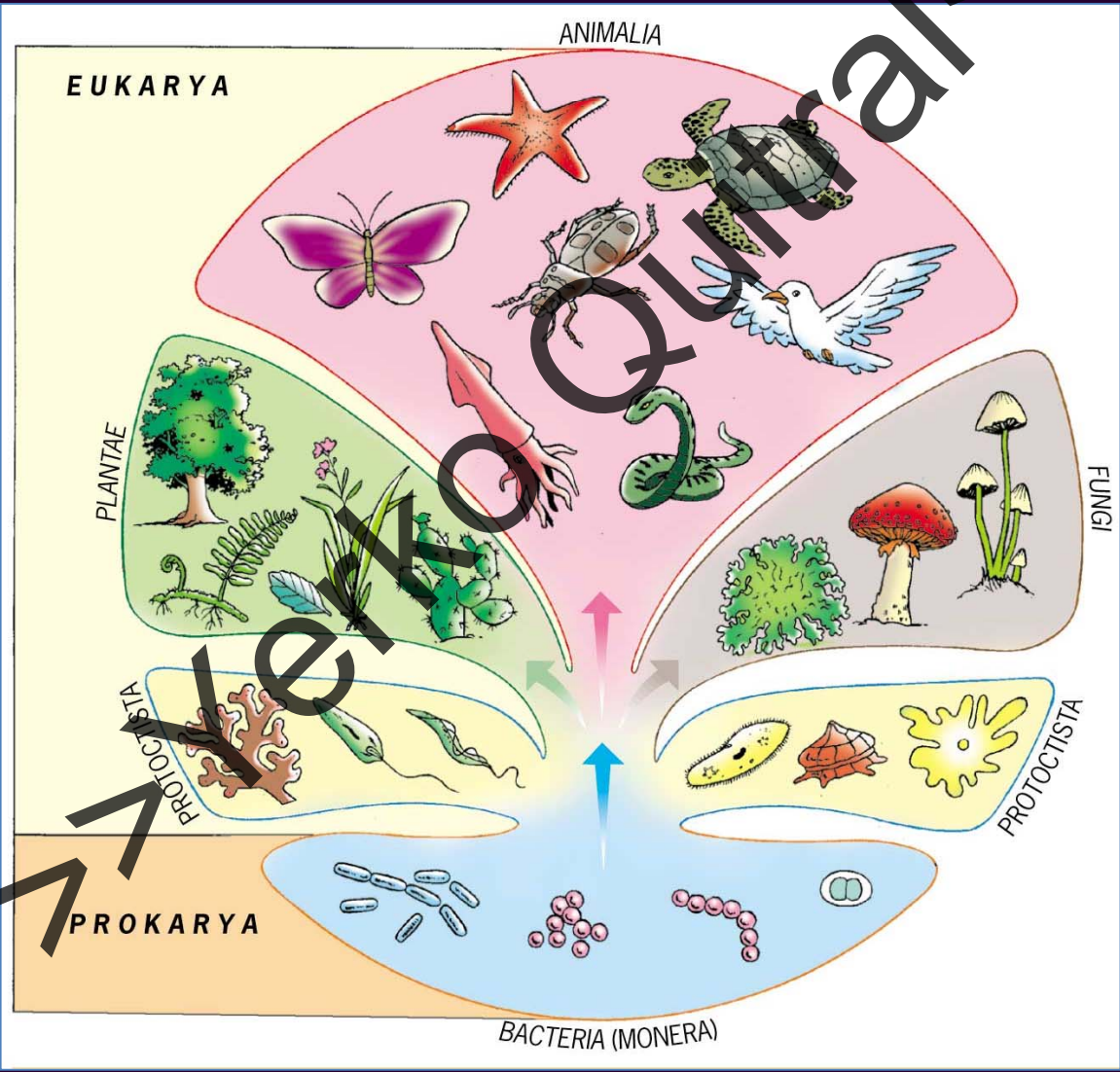


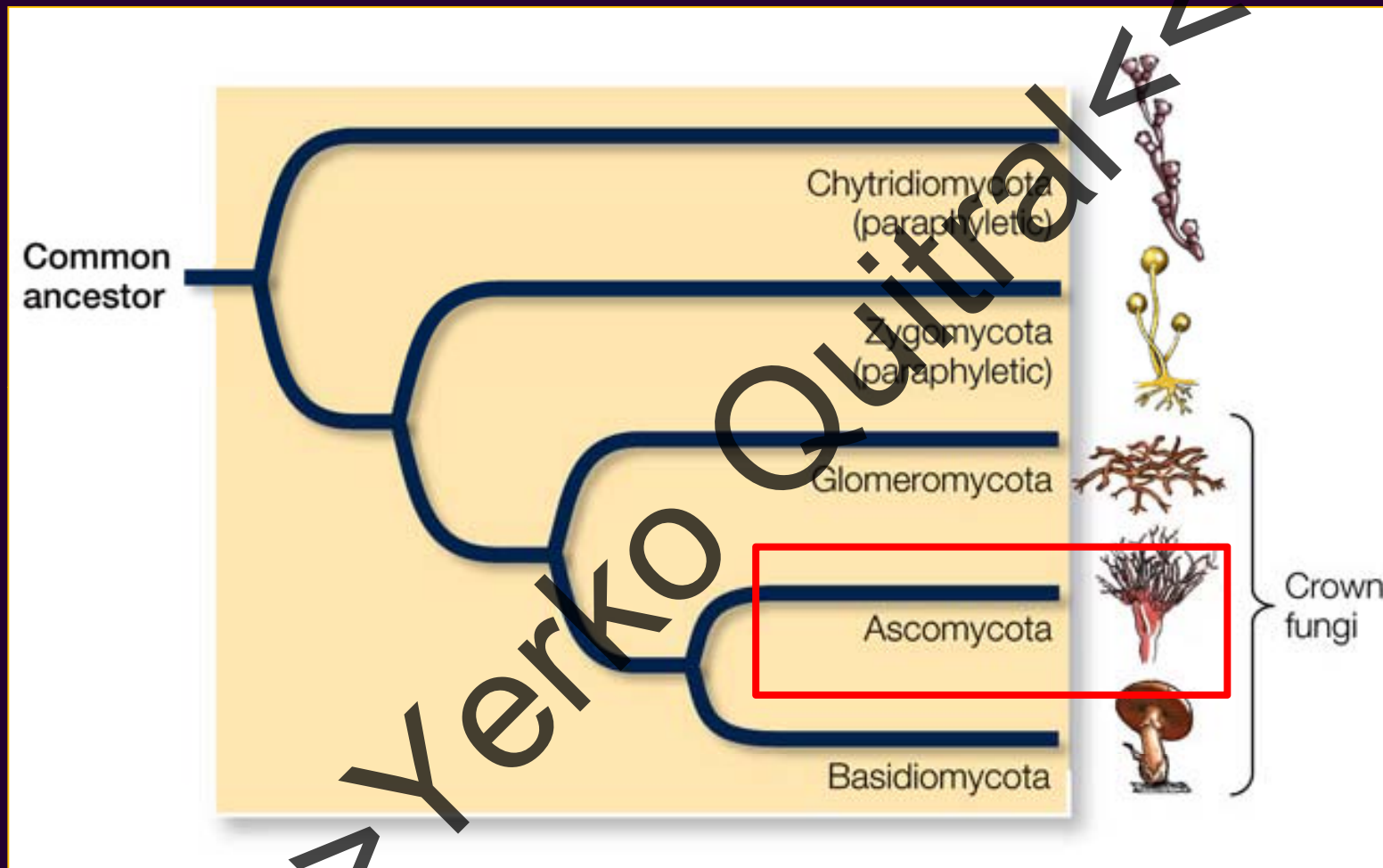
- Se ha identificado un pH más ácido cercano a 6.0
- El pH estaría afectando significativamente la intensidad de la mancha y el color
- El pH del sustrato cambiaría de color por metabolitos del hongo.

Problemas en la conservación



Hongos

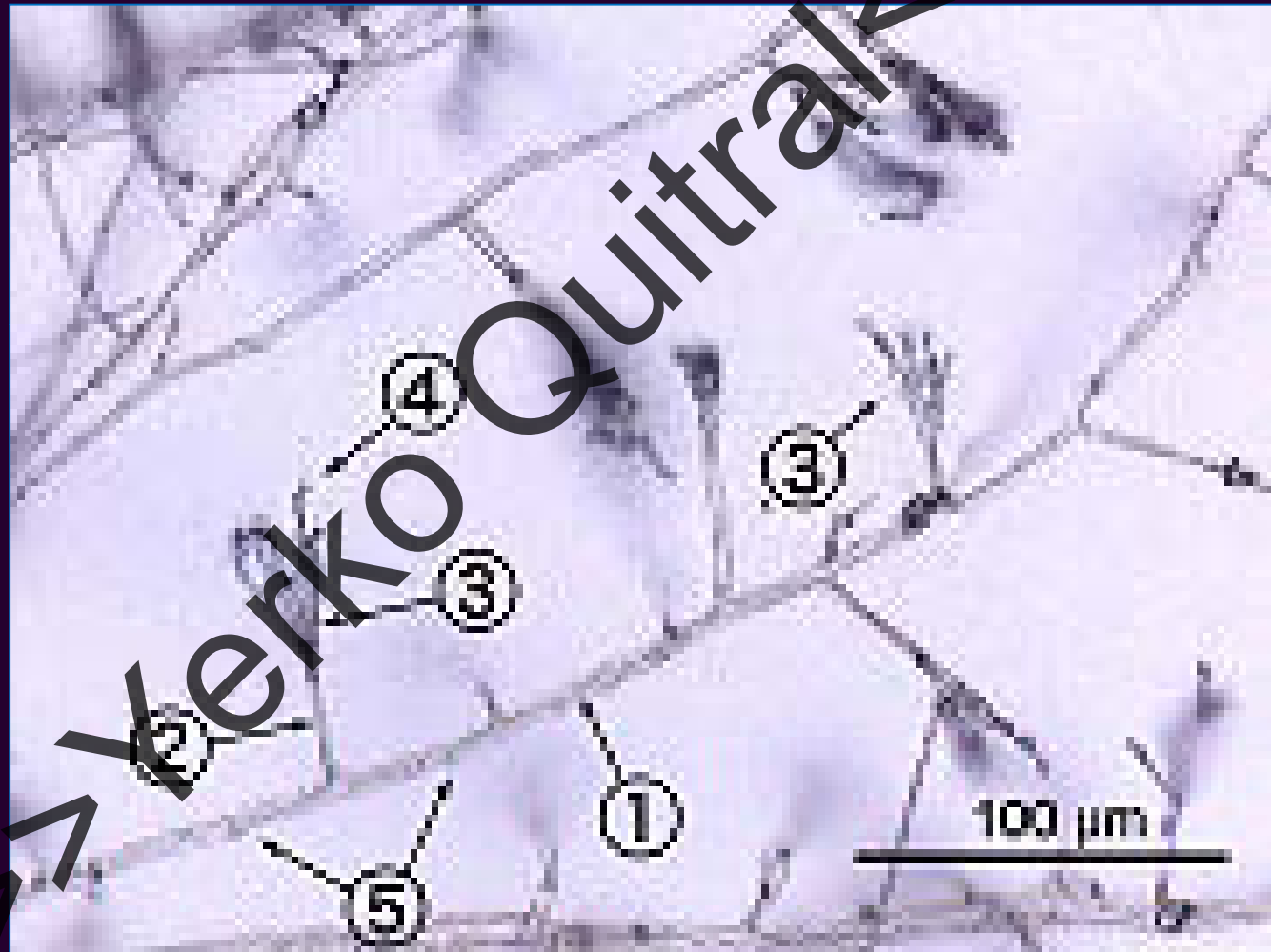




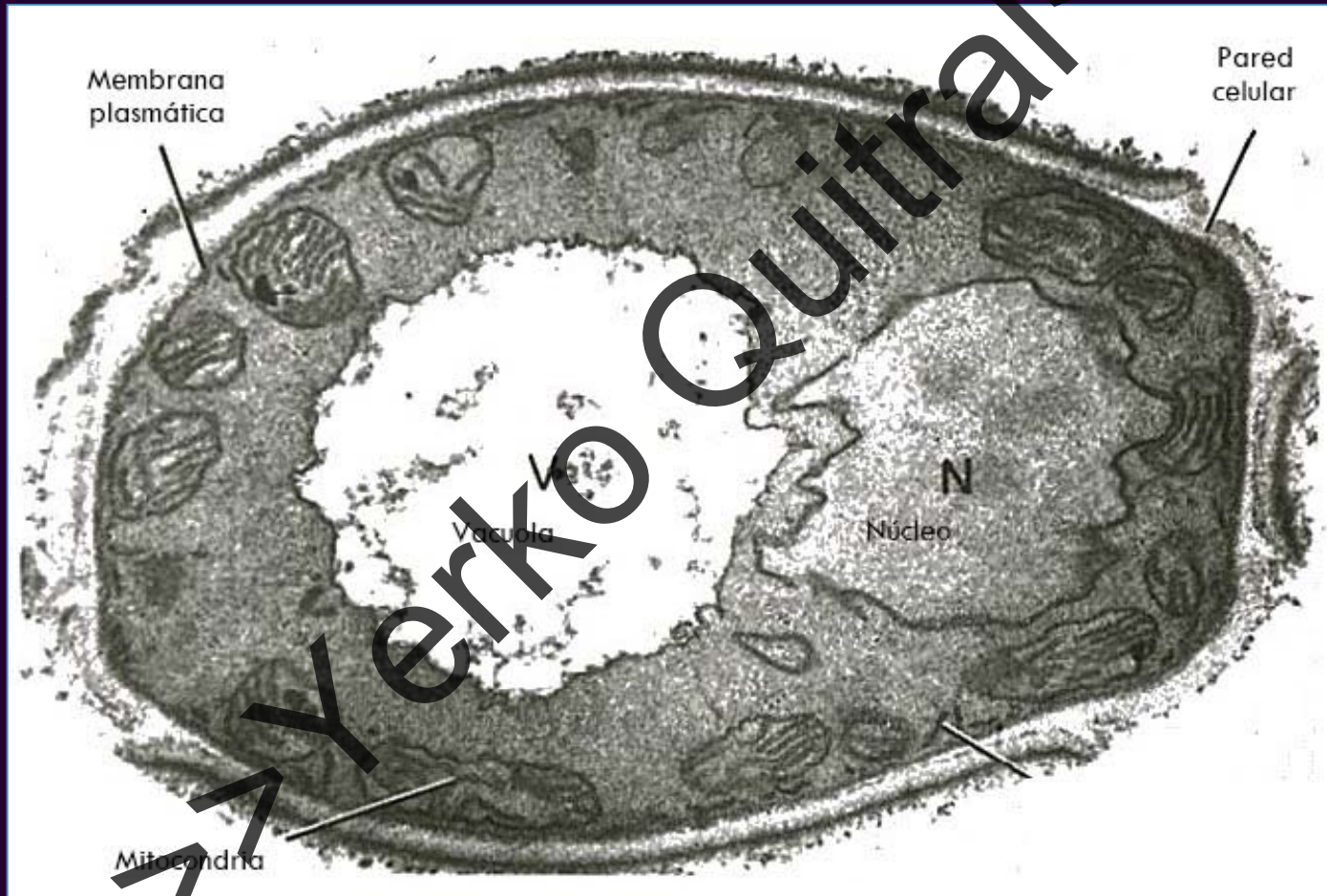
Life, The Science Of Biology, 8 ed., 2007

Estructura básica de un hongo

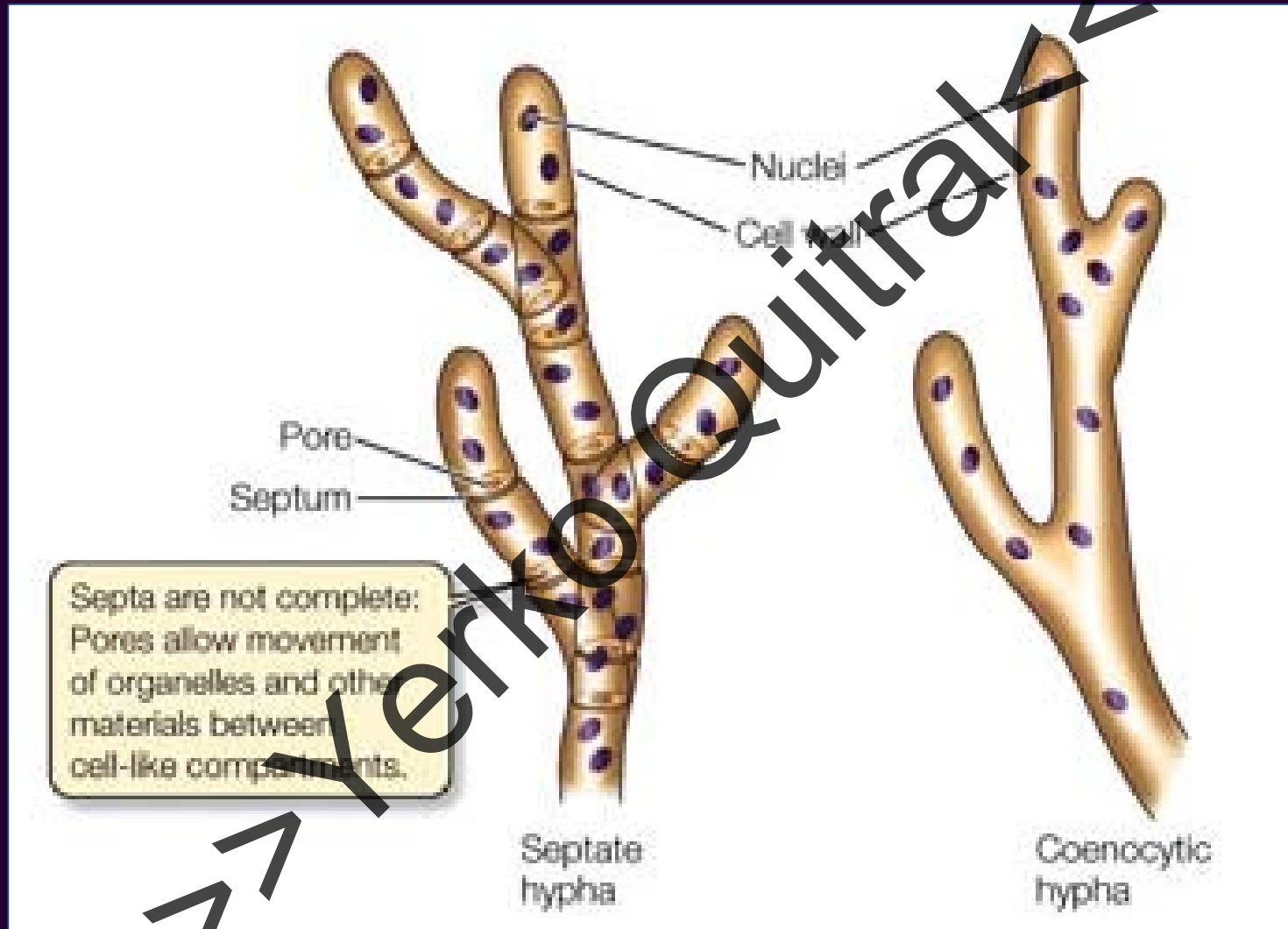
- (1) Hifa
- (2) Conidioforo
- (3) Fiálide
- (4) Conidia
- (5) Septas



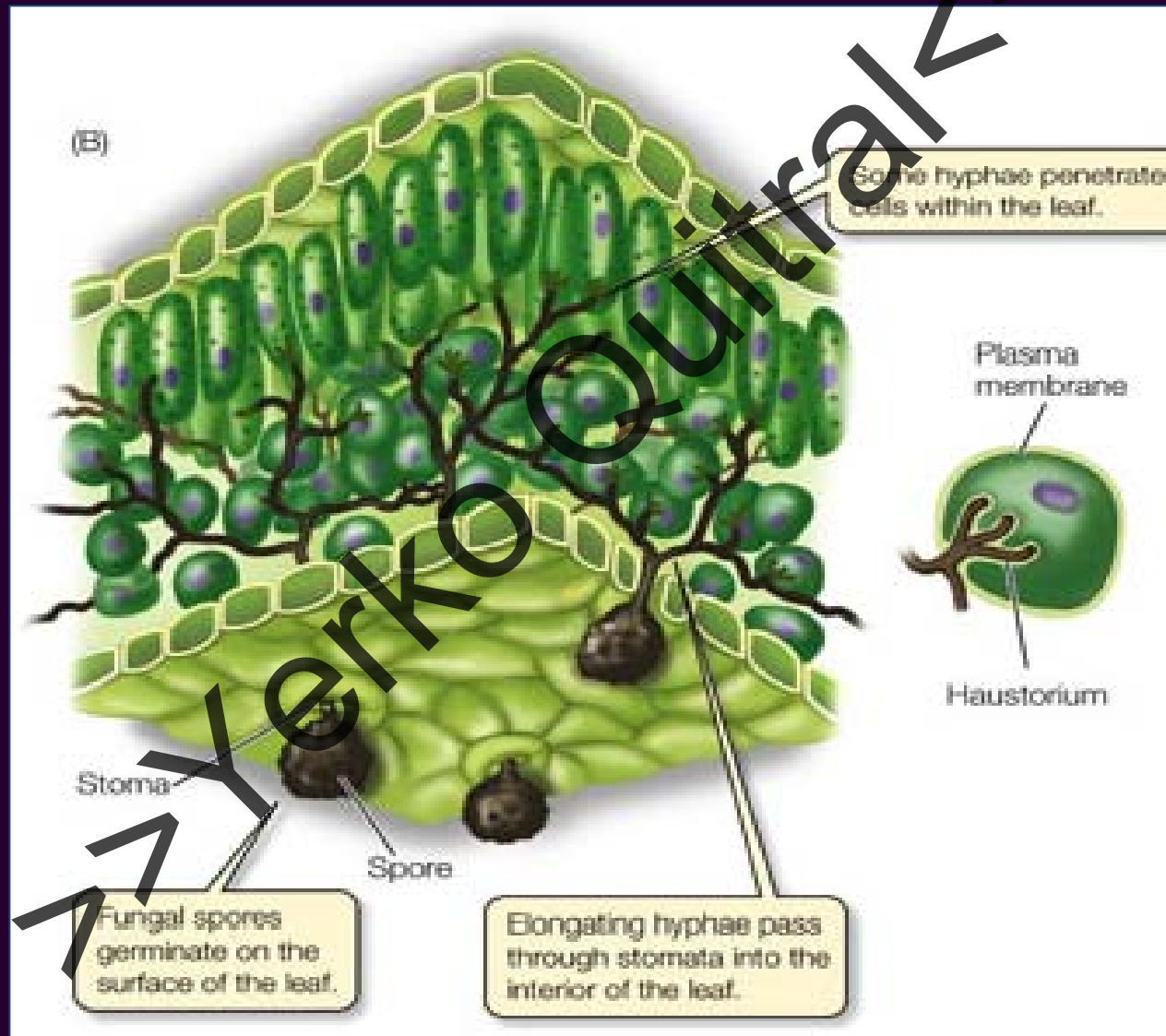
Célula fúngica



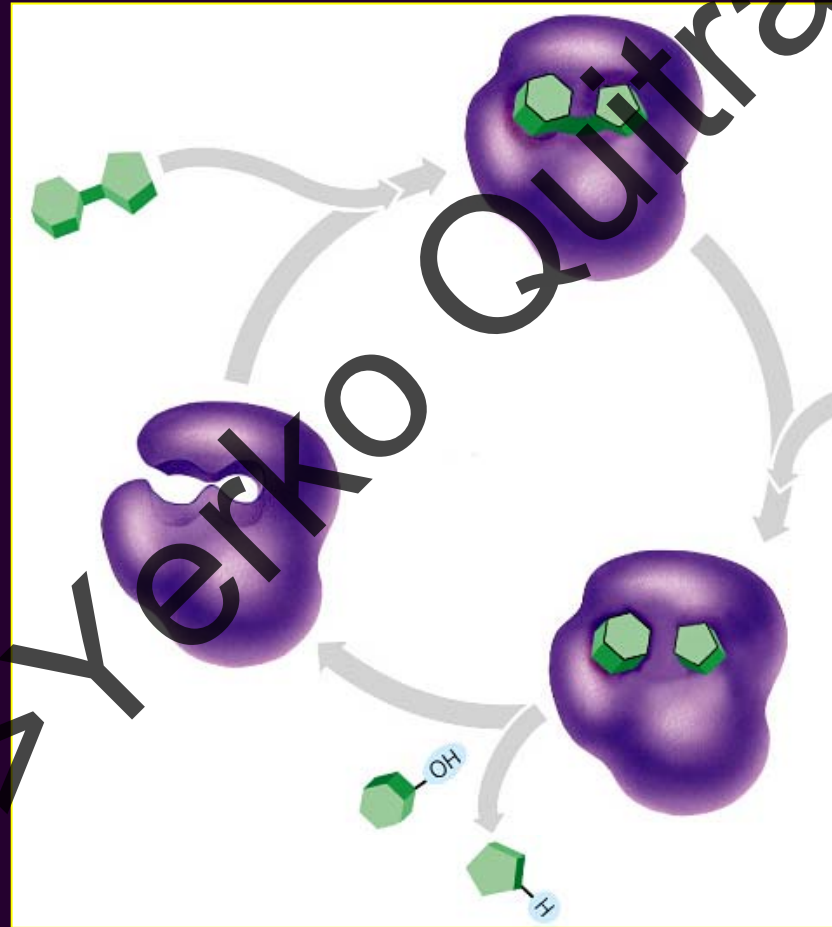
Morfología



Anclaje de los Hongos en célula vegetal



Acción enzimática en el papel



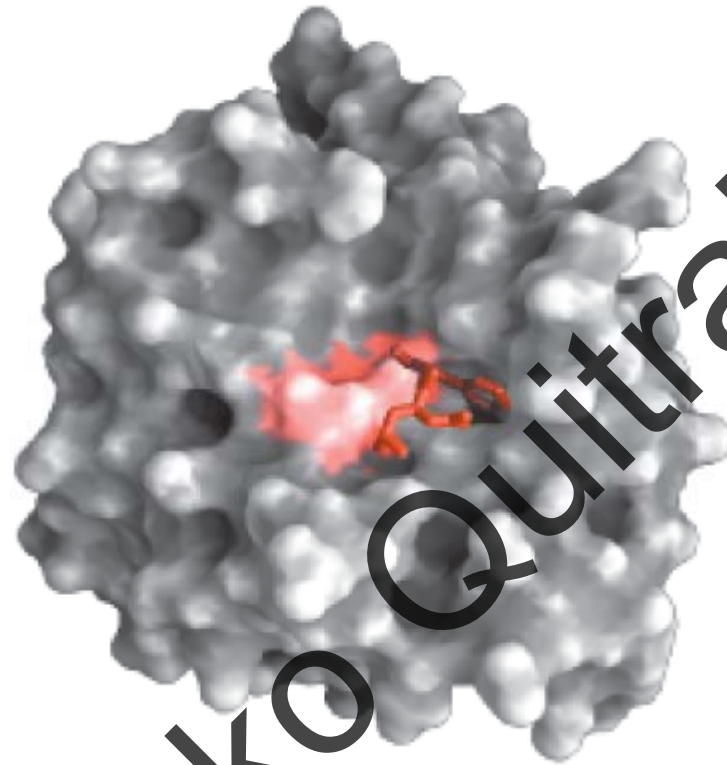
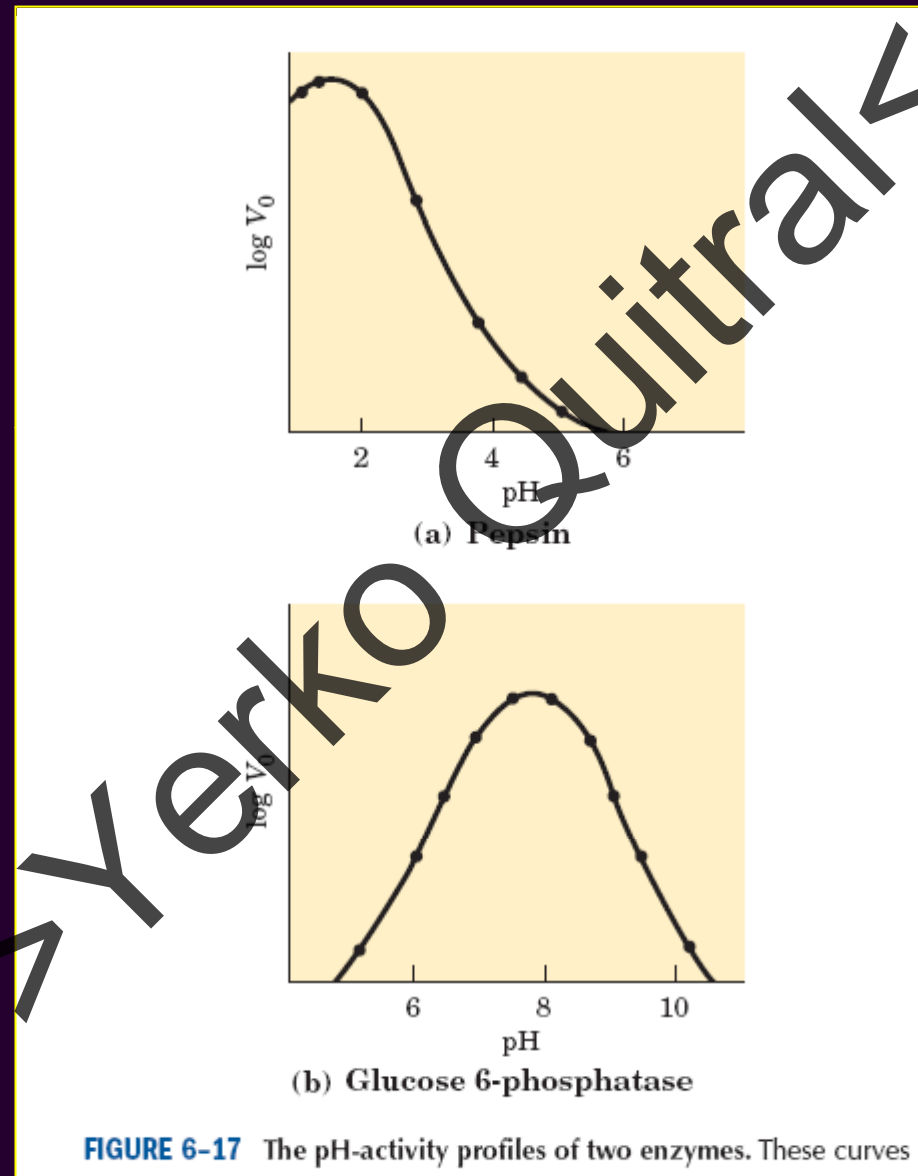


FIGURE 6-1 Binding of a substrate to an enzyme at the active site. The enzyme, chymotrypsin, with bound substrate in red (PDB ID 7GCH). Some key active-site amino acid residues appear as a red splotch on the enzyme surface.

A simple enzymatic reaction might be written



Respuesta a pH diferencial en la Actividad enzimática



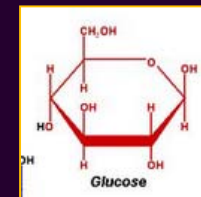
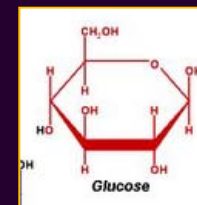
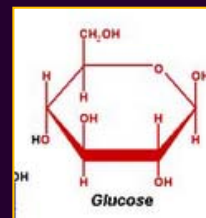
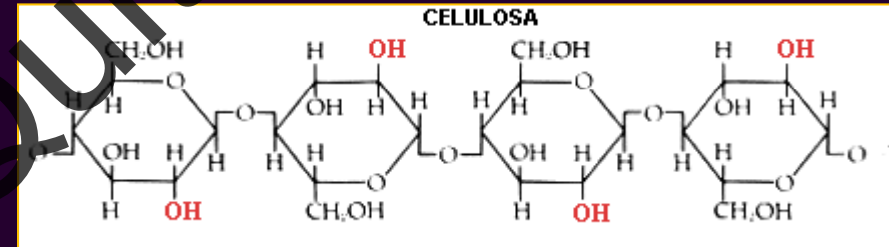
Mecanismo General de Acción degradativa



Hifas

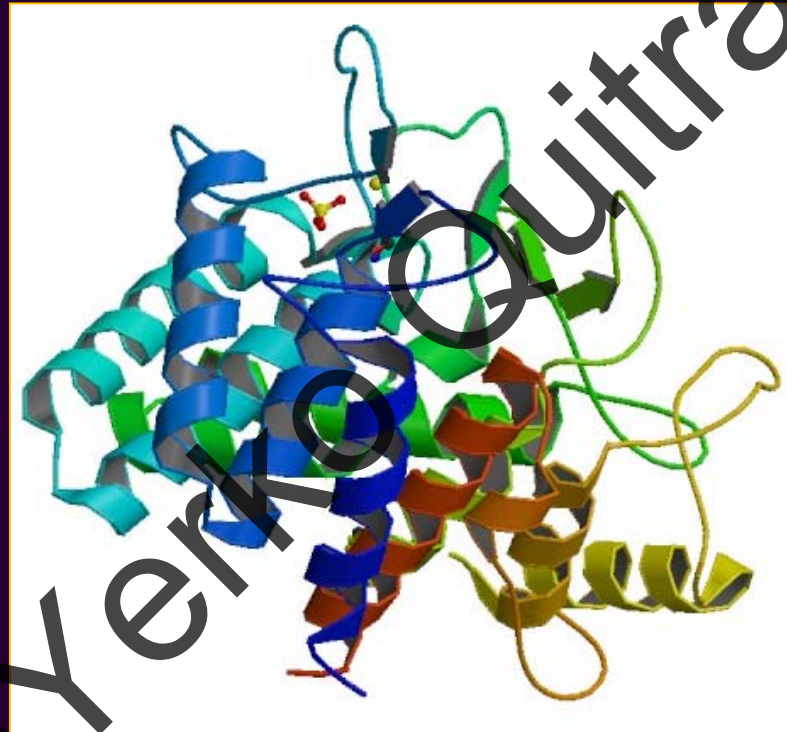
Enzimas

Celulosa



Glucosa

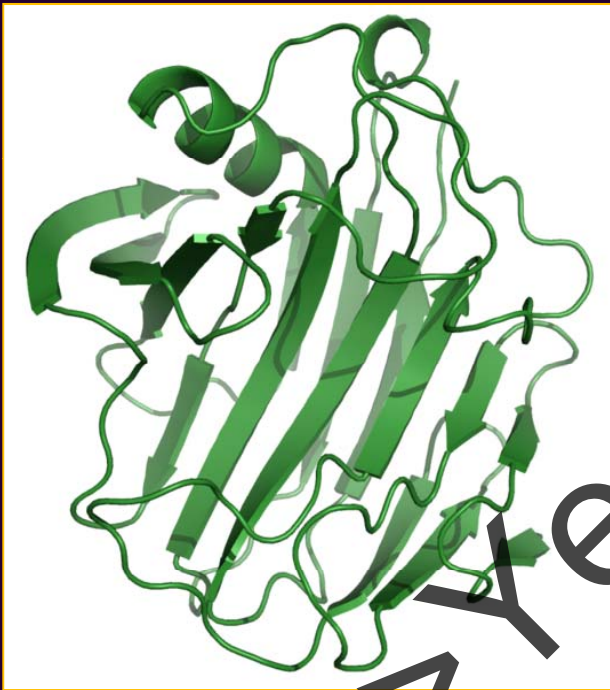
Celulasas



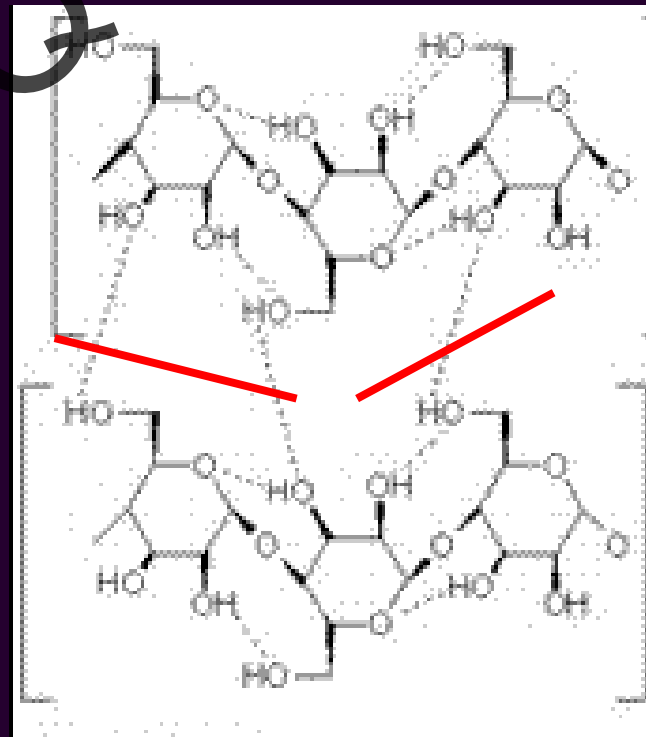
Endoglucanasa, estructura de la enzima endoglucanasa, que ataca la celulosa. (Foto: Peter Reilly)

Estos sistemas están compuestos principalmente por tres tipos de enzimas:

➤ β -1,4- Endoglucanasas

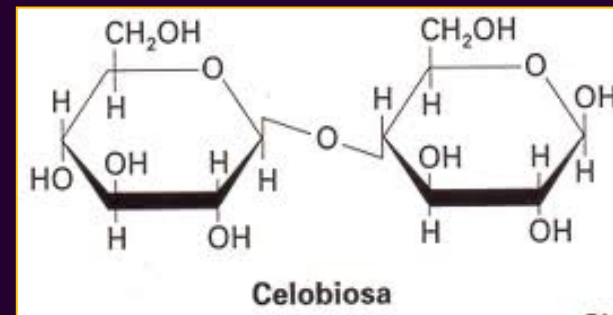
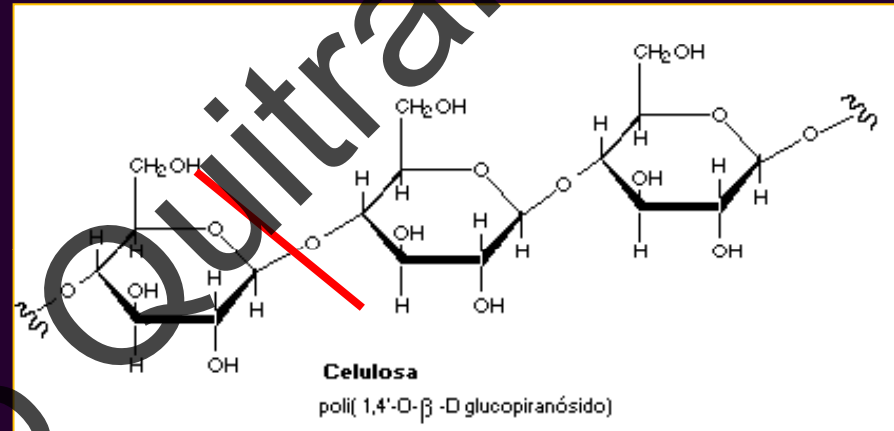
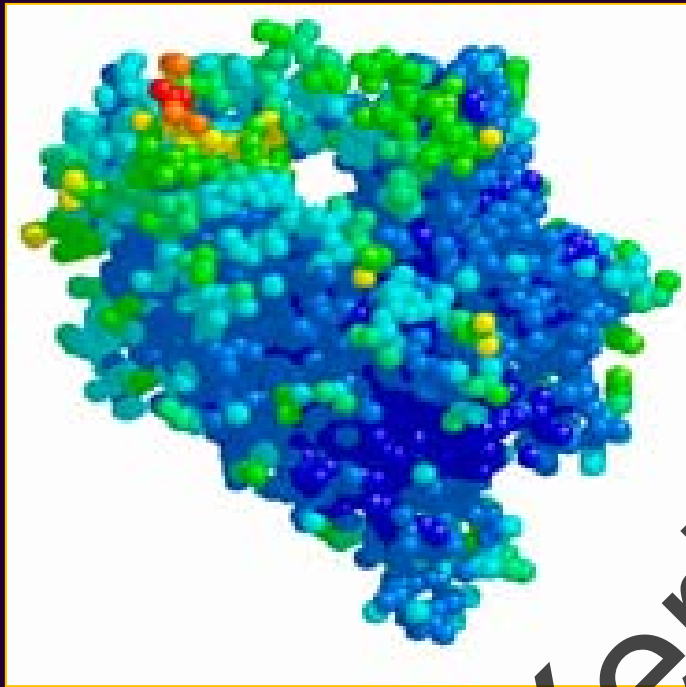


Cortan enlace 1,4- β en la cadena de celulosa

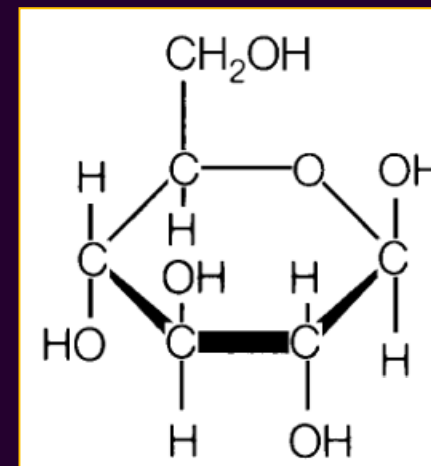
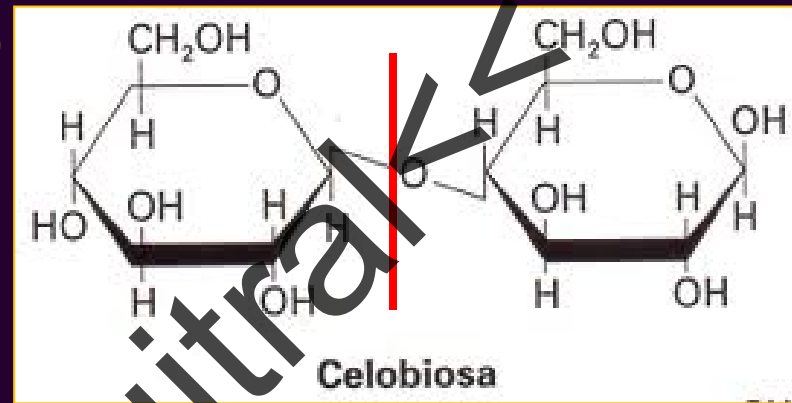
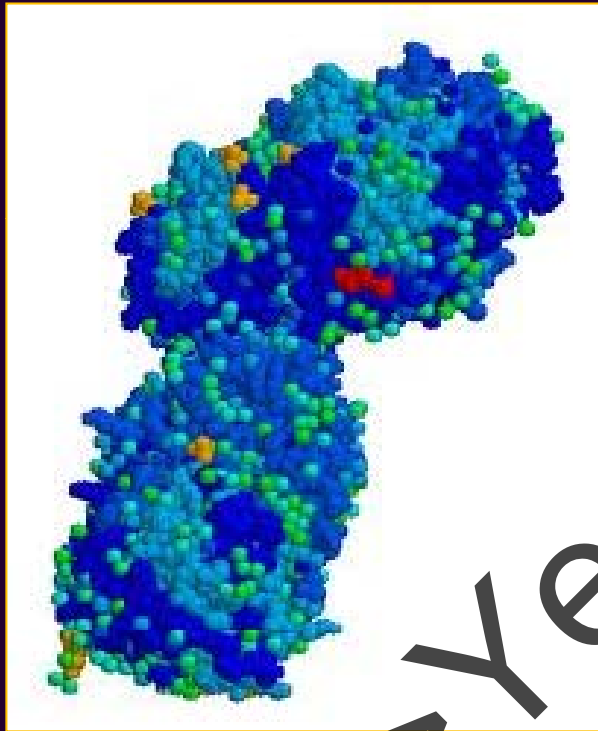


➤ β -1,4-Exoglucanasa

Parte de 2 o 4 unidades de glucosa
produciendo tetrasacaridos o disacaridos

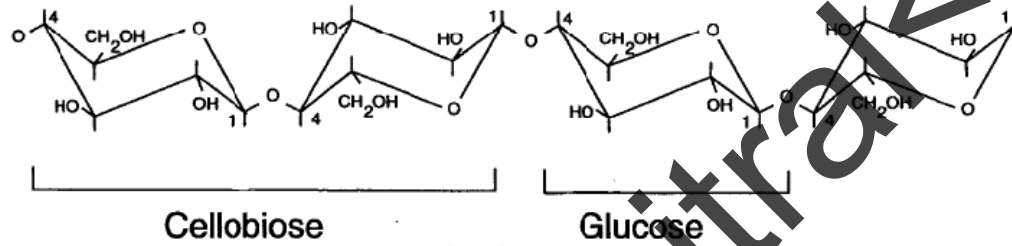


➤ Celobiohidrolasa (Glucosidasa)



Glucosa

A



B

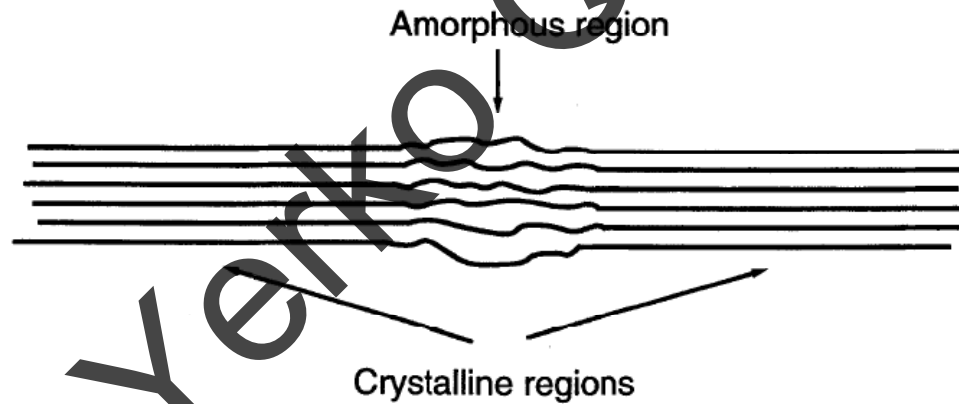
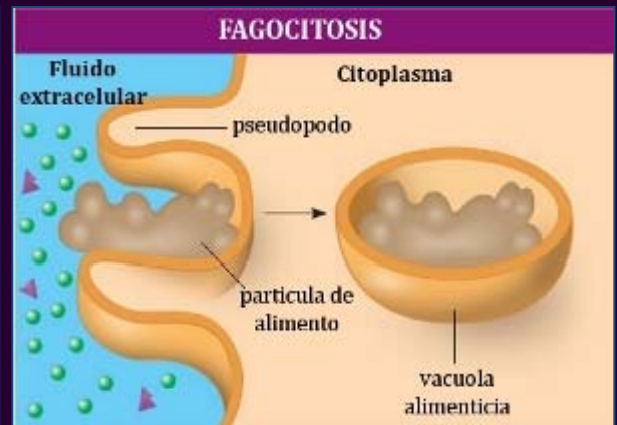
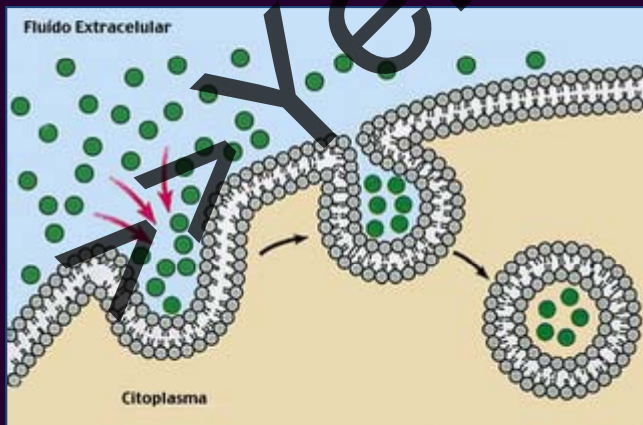
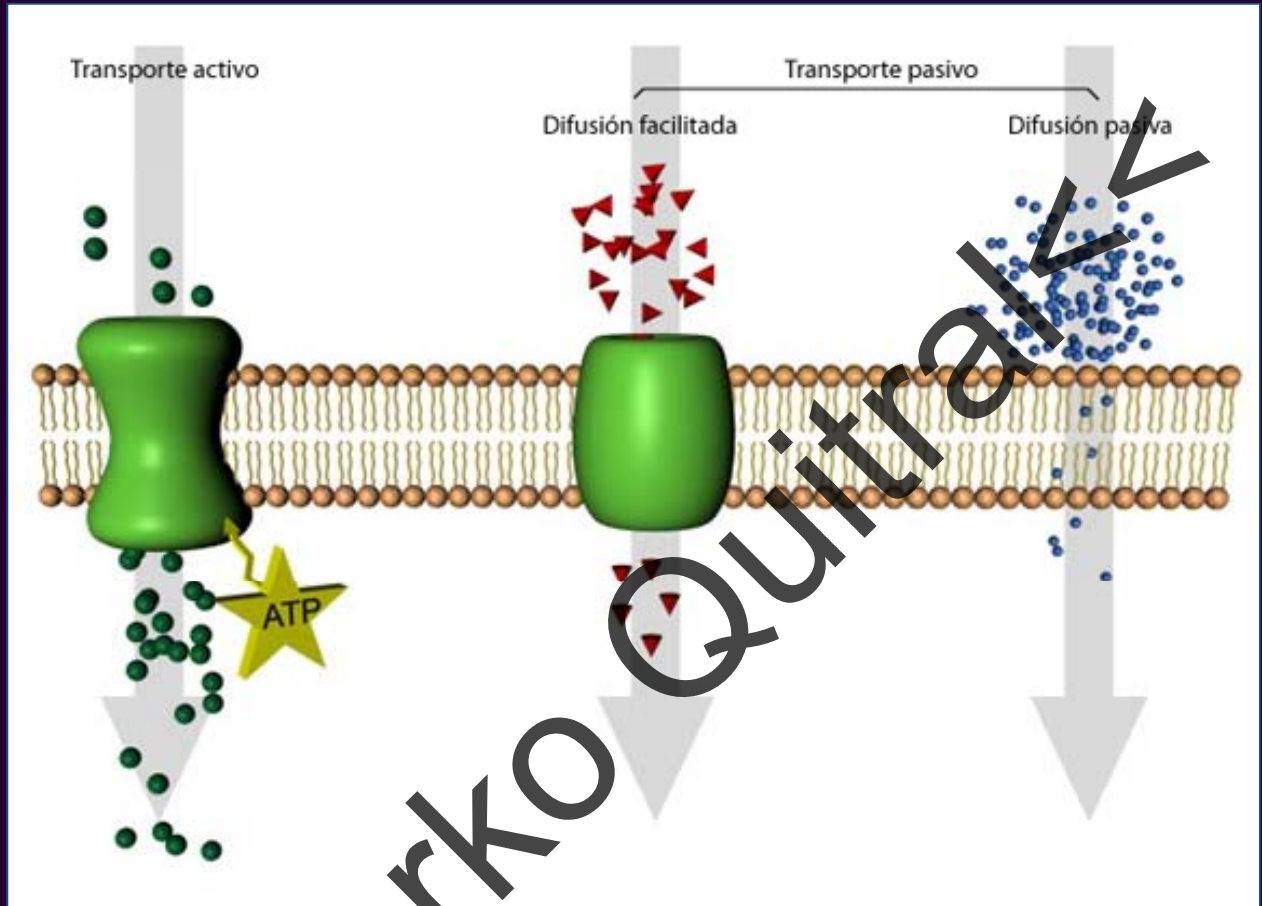
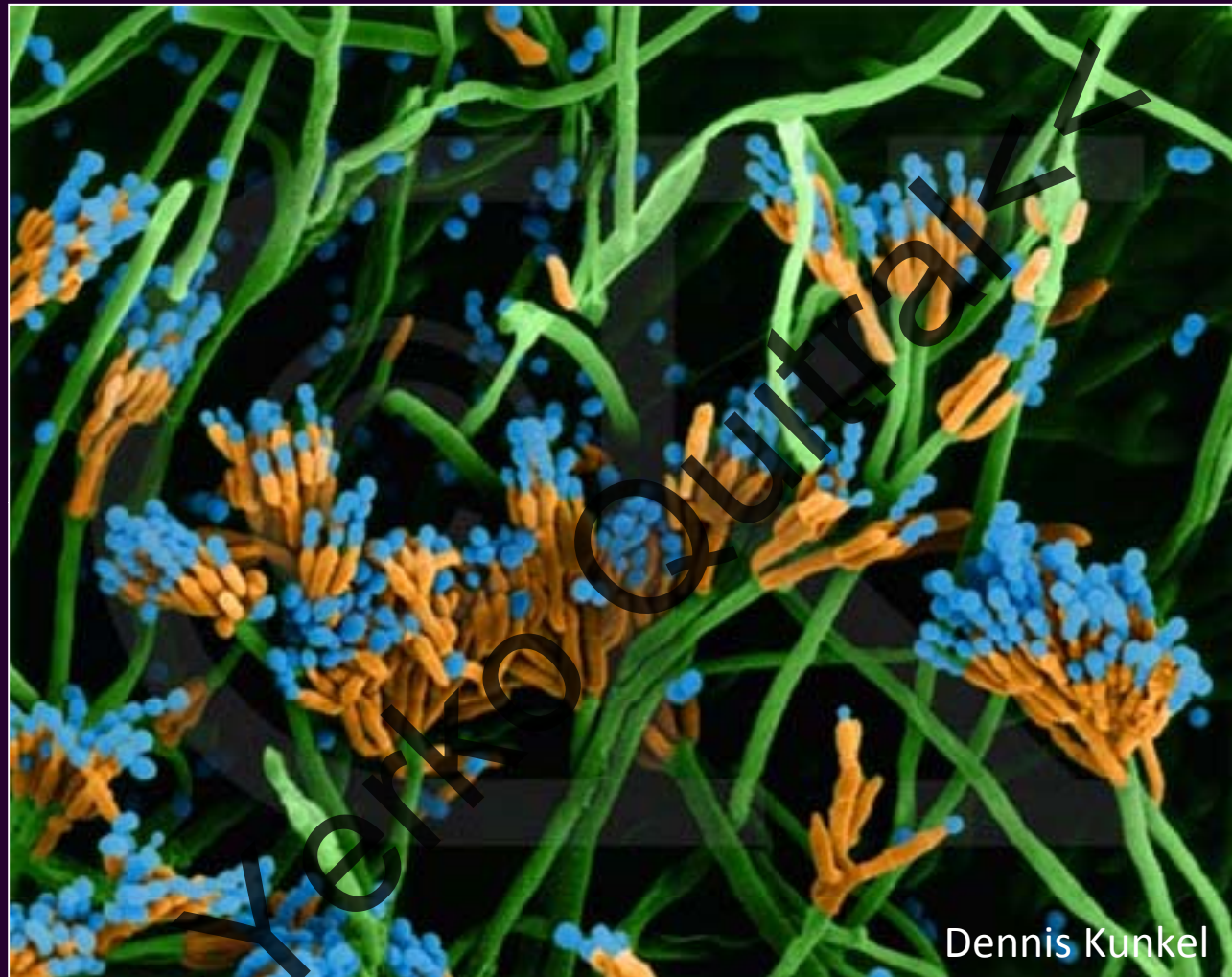
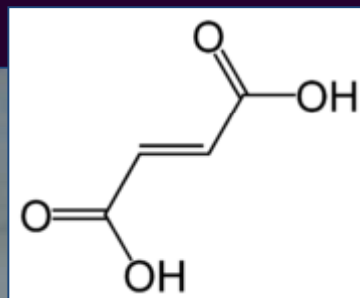


FIGURE 1. Structure of cellulose. (A) β -Glucosidic bonds; (B) schematic structure of a fibril. (From Béguin, P. and Aubert, J. P. 1992. *Ann. Inst. Pasteur/Actualités* 3: 91-115. With permission.)

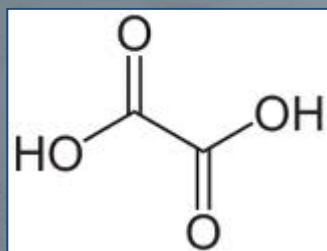




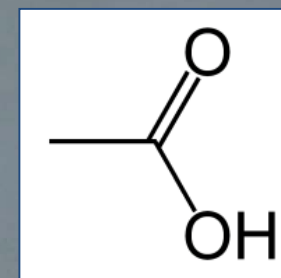
Microscopía Electrónica de Barrido. Se observan los micelos del hongo *Penicillium* sp con sus hifas (verde) , esporangio (naranja) y sus esporas (azul)



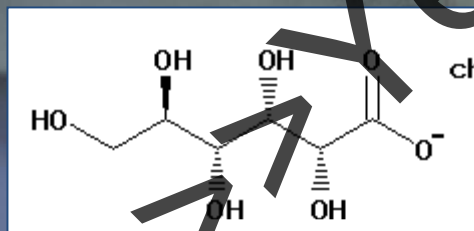
Ac. fumarico



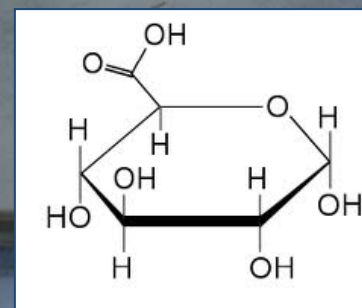
Ac. oxálico



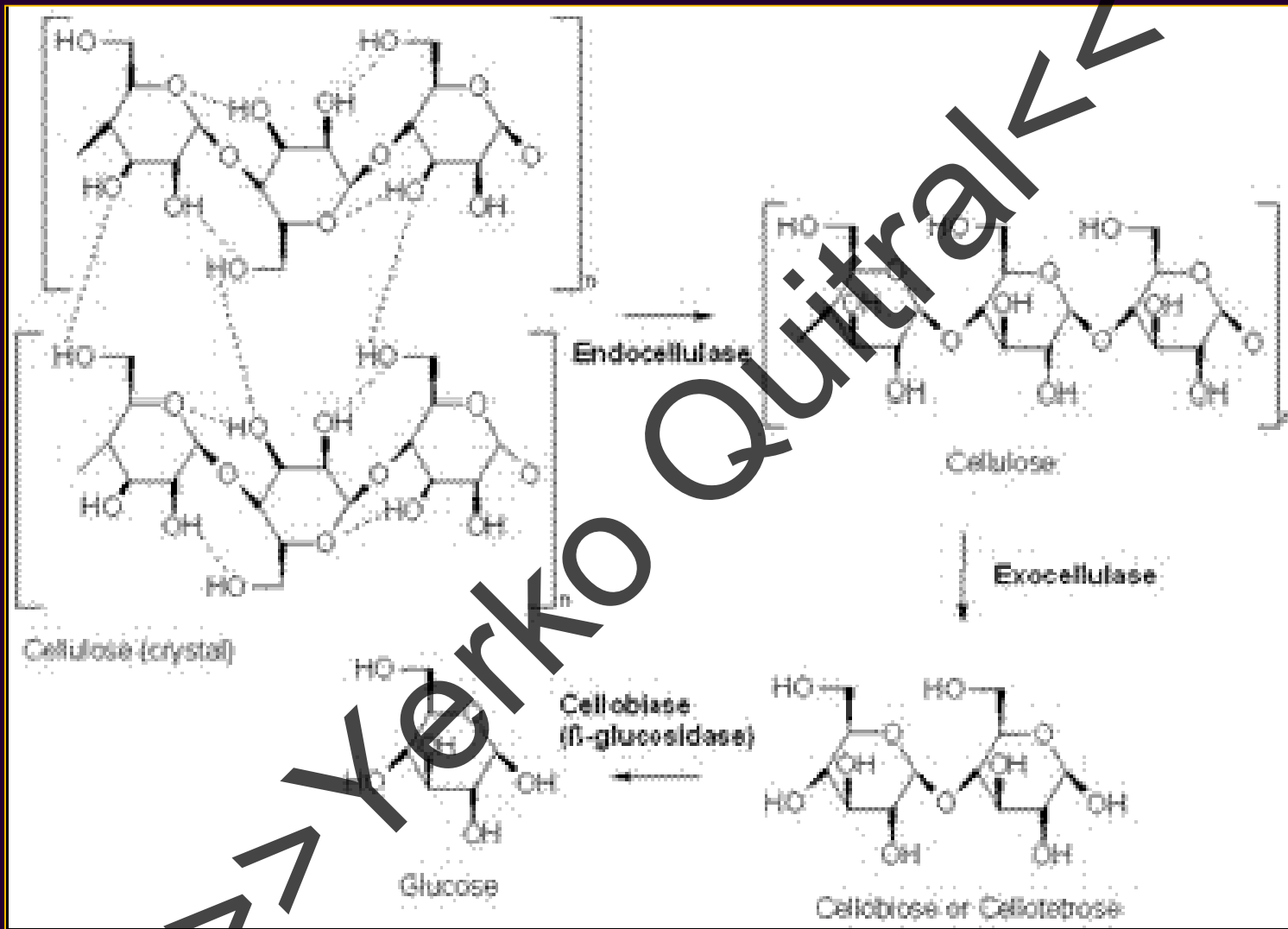
Ac. acético

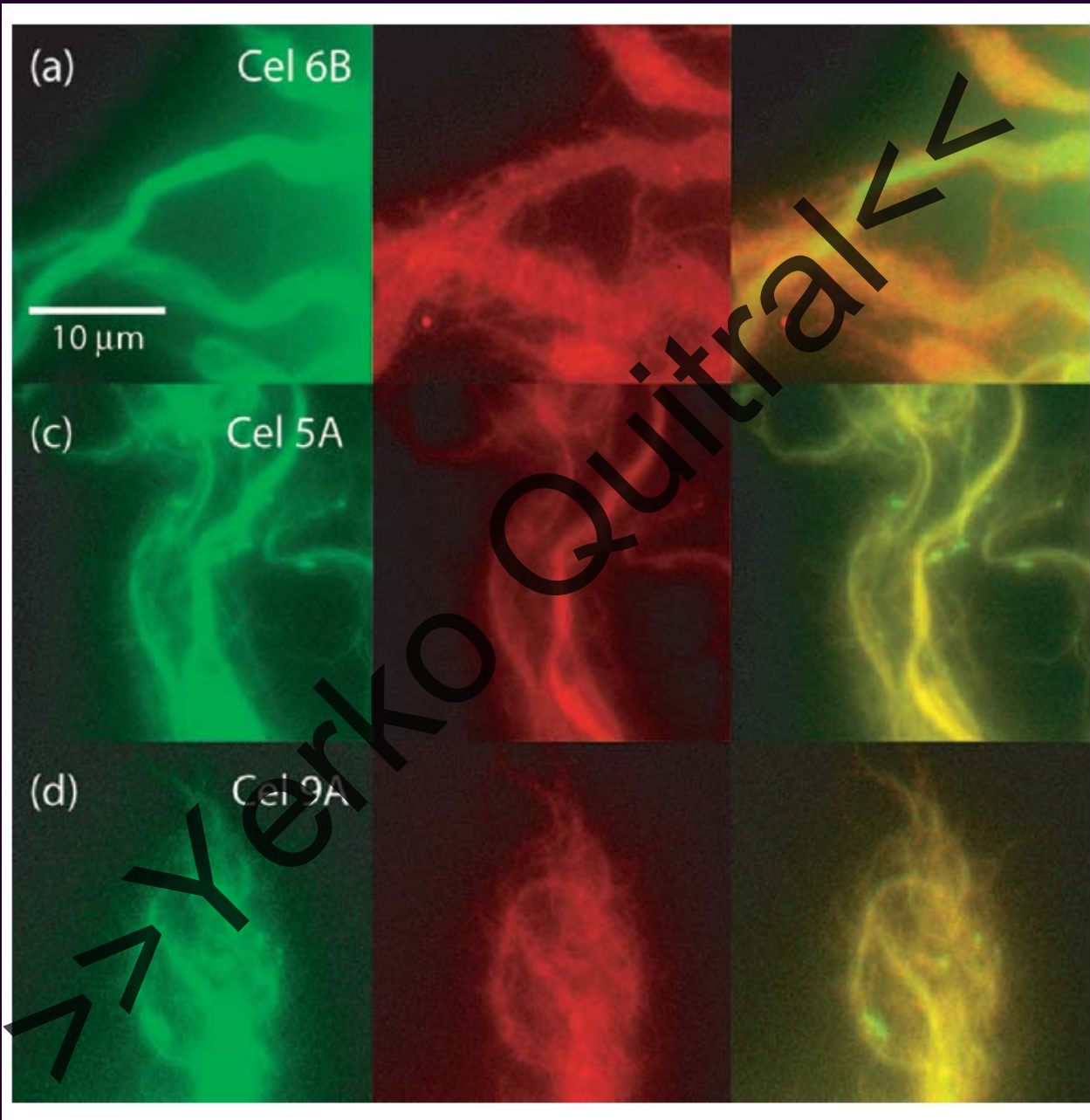


Ac. glucónico



Ac. glucurónico

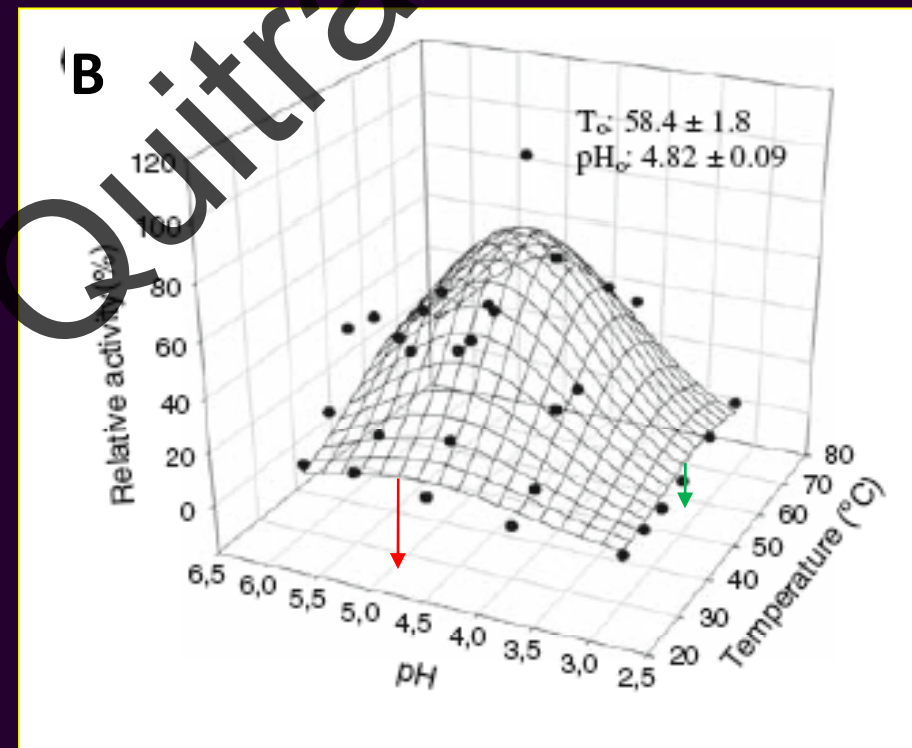
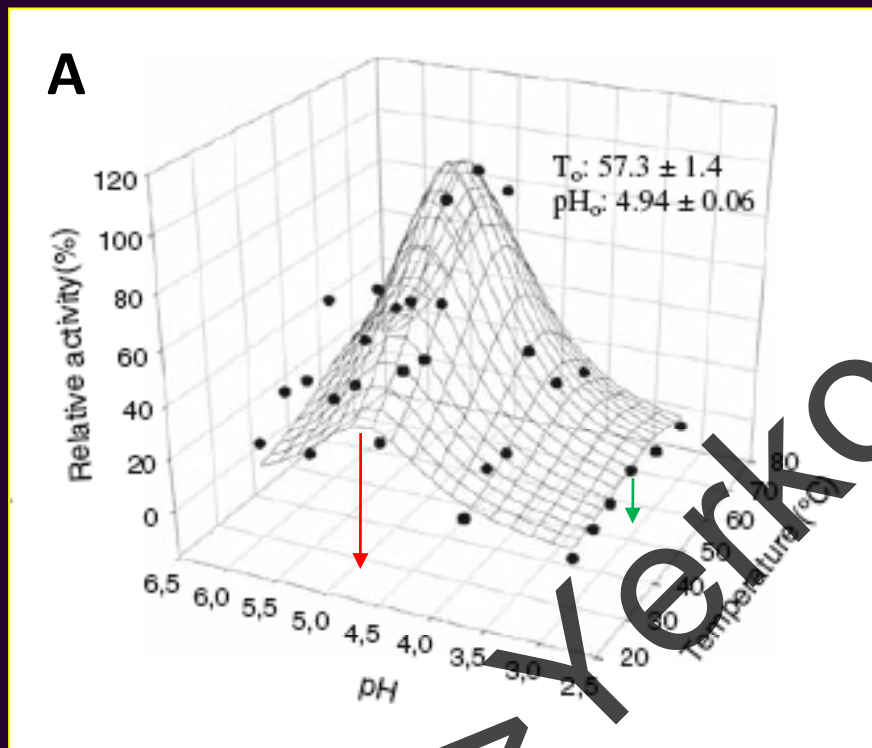




Jose M. Moran-Mirabal *et al*, 2008. Biotechnology and Bioengineering.

Influencia del pH y la Temperatura sobre la actividad enzimática

a) Glucosidasa b) endoglucanasa



Machado de Castro *et al.*, 2010. J Ind Microbiol Biotechnol.

Crecimiento de hongos específicos en libros y ambiente

Tabla 1. Distribución del número de unidades formadoras de colonias (UFC) obtenidas en el muestreo del ambiente y en los libros

Sección	Tipo de agar	Ambiente	Libros	Total	UFC por secciones	UFC (%)
Sala de Hemeroteca	Celulosa	26	9	35	74	18.09
	ADP	33	6	39		
Depósito de Hemeroteca	Celulosa	16	3	19	40	9.78
	ADP	18	3	21		
Colección Libros	Celulosa	94	3	97	143	34.97
	ADP	30	16	46		
Antiguos Depósito General	Celulosa	111	1	112	152	37.16
	ADP	39	1	40		
Total	Celulosa	247	16	263	409	100
	ADP	120	26	146		

Marinés Giraldo-Castillón et al.,2009.

Factores como temperatura y humedad relativa en el crecimiento de hongos.

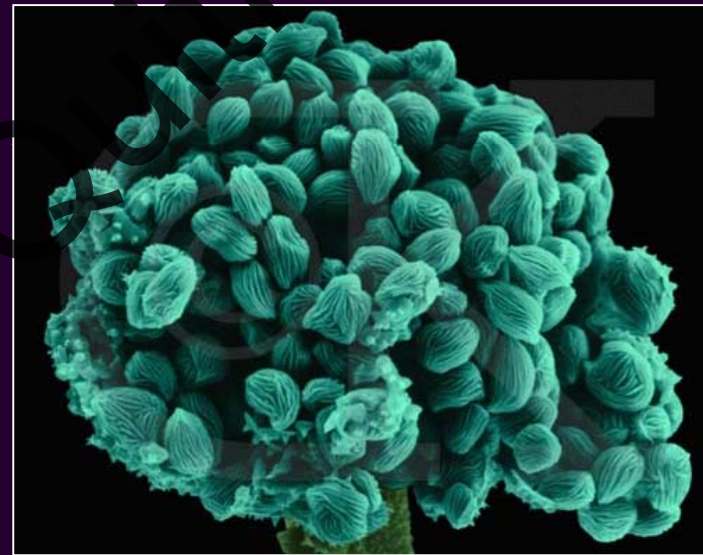
Tabla 2. Promedio e intervalo de temperatura y humedad relativa registrada en cada sitio de muestreo

Sitio de muestreo	Temperatura (°C)	Humedad relativa (%)
Sala de la Hemeroteca	23.4 (18.3 – 28.5)	41.7 (39.9 – 45.1)
Depósito de Hemeroteca	22.0 (16.1 – 27.9)	48.1 (45.6 – 51.7)
Colección Libros Antiguos	23.3 (17.6 – 29.0)	65.1 (62.5 – 67.8)
Depósito General	23.6 (18.3 – 28.8)	60.7 (59.3 – 62.2)

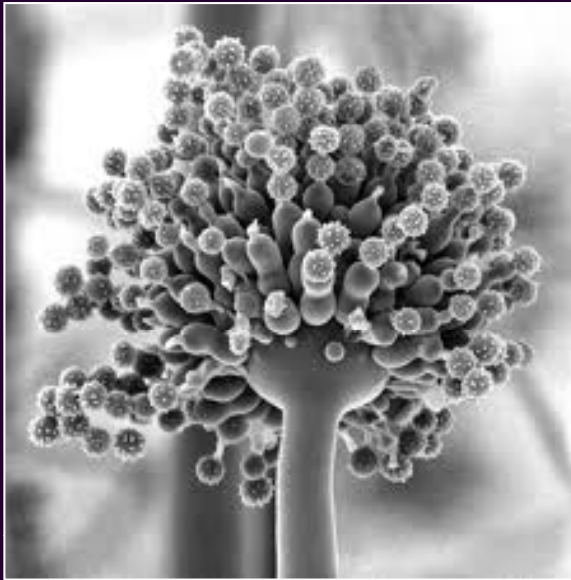
Hongos más comunes



Rhizopus stolonifer (SEM)



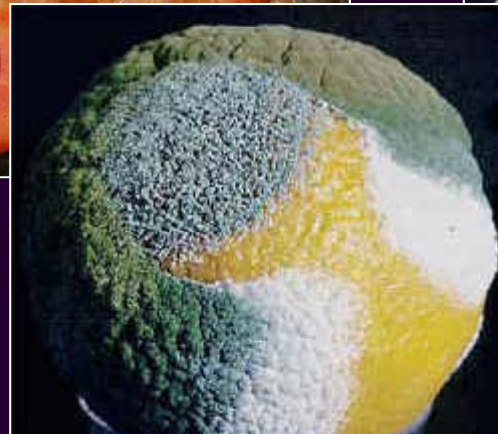
Rhizopus (SEM)



Aspergillus

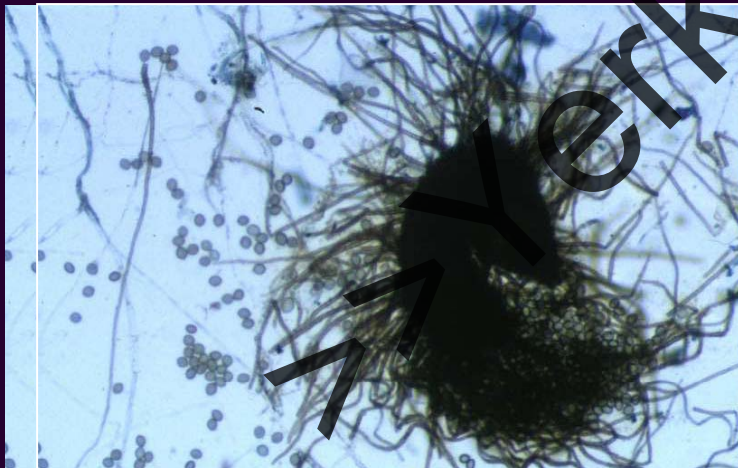


Penicillium





Fusarium



Chaetomium





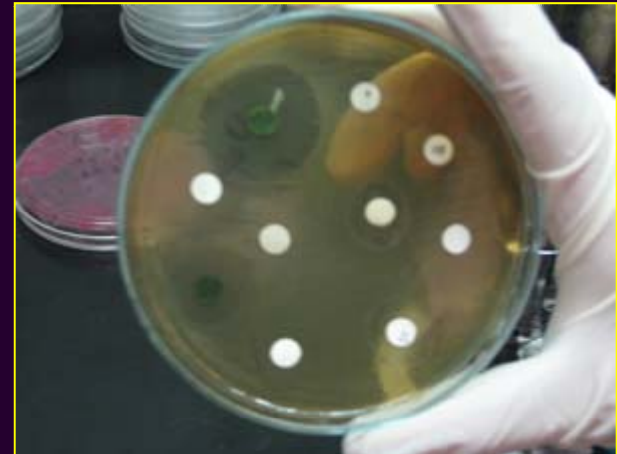
Alternaria



Cladosporium

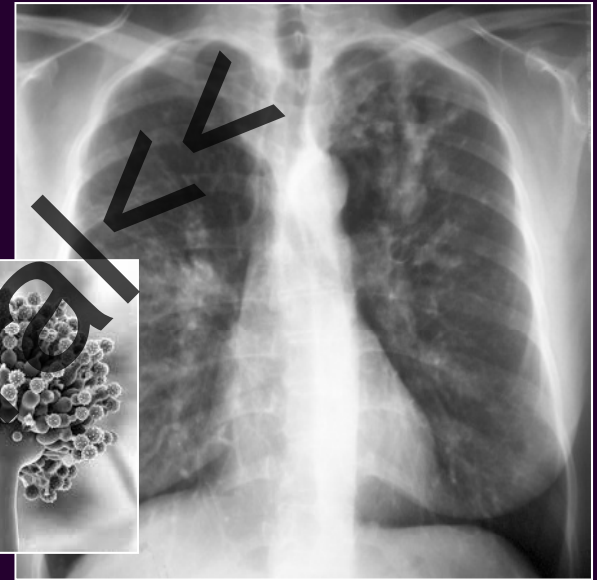
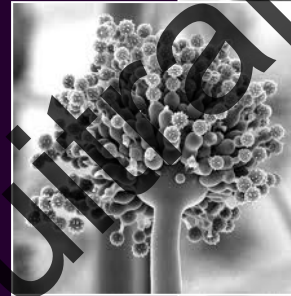


Consideraciones de trabajo

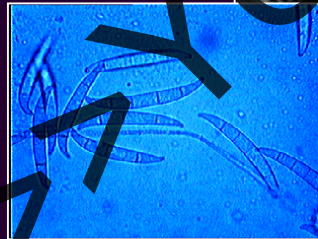




Cladosporium



Aspergillus



Fusarium sp.

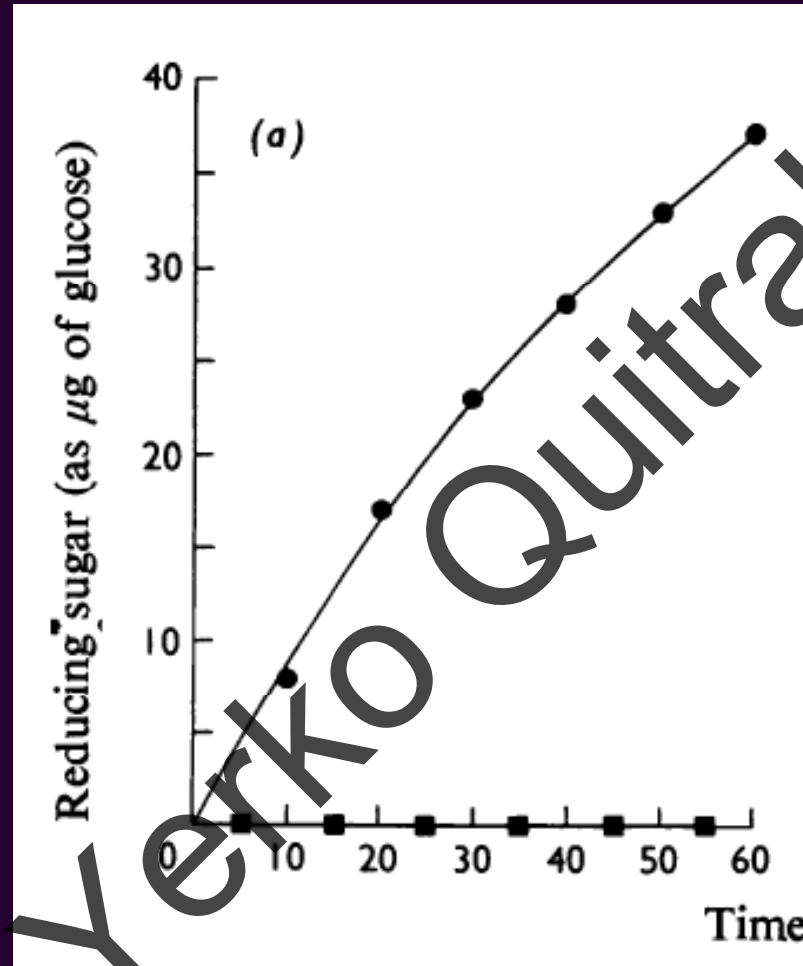
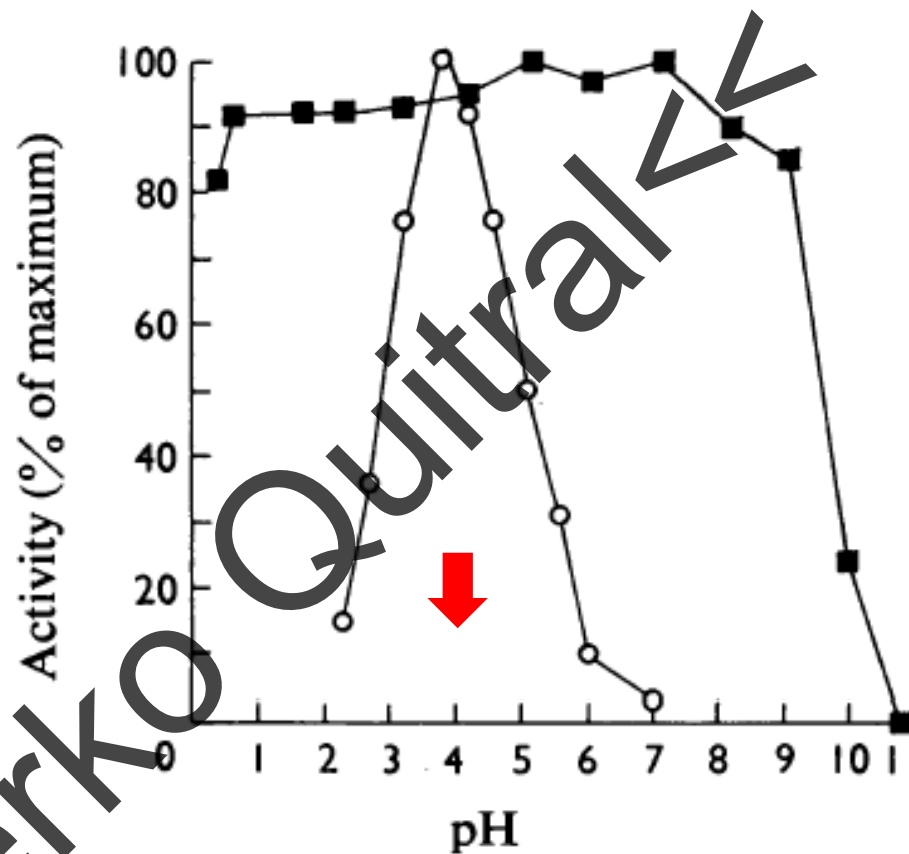


Fig. 1. *Hydrolysis of CM-cellulose*

(a) Production of reducing sugars during the hydrolysis of CM-cellulose. Each assay contained 0.1 ml of enzyme solution (0.25 μg) and 0.5 ml of CM-cellulose (10 mg/ml) in 0.1 M-sodium acetate buffer, pH 4.0 at 40°C. Tubes were removed from the incubation bath at the times indicated, kept on ice and reducing sugars (●) and glucose (■) determined as described under 'Methods'. (b) Effect of cellulase on the viscosity of CM-cellulose solution. Solutions of CM-cellulose (20 mg/ml, in 0.1 M-sodium acetate buffer, pH 4.0, 30 ml) and cellulase (25 μg /ml, in the same buffer, 5 ml) were mixed and 5 ml samples were removed at the times indicated for the determinations with an Ostwald viscometer. The specific viscosity at zero time was determined by substituting buffer for the enzyme solution. The experiment was carried out in a constant-temperature room at 40°C.

Fig. 2. Effect of the pH on the activity and stability of cellulase

The effect of pH on the enzymic hydrolysis of CM-cellulose (○) was measured in the assay system consisting of 0.25 ml of CM-cellulose (20 mg/ml) in water, 0.25 ml of an appropriate buffer and 0.1 ml of cellulase (0.25 μg). Buffers used were: 0.2 M-glycine/HCl (pH 1.5, 2.0, 2.5); 0.2 M-citric acid/NaOH (pH 3.0, 3.5); 0.2 M-acetic acid/NaOH (pH 4.0, 4.5, 5.0, 5.5); 0.2 M-succinic acid/NaOH (pH 5.0, 5.5, 6.0); 0.2 M-imidazole/HCl (pH 4.0). Points were the average of three determinations. In determining the stability of the enzyme (■), cellulase was incubated at 25°C for 24 h in a mixture containing 0.5 ml of buffer, 0.4 ml of water and 0.1 ml of enzyme solution (250 μg/ml). After incubation, 0.1 ml samples were transferred to 1.0 ml of 0.25 M-sodium acetate buffer, pH 4.0. Duplicate assays were carried out on 0.1 ml portions. Buffers used were: 0.2 M-glycine/HCl (pH 1.5, 2.0); 0.2 M-citric acid/NaOH (pH 3.0, 4.0, 5.0, 6.0); 0.2 M-imidazole/HCl (pH 7.0); 0.2 M-Tris/HCl (pH 8.0, 9.0); 0.2 M-glycine/NaOH (pH 10); 0.2 M-NaHCO₃/NaOH (pH 11.0). For pH values below 1 dilute HCl solutions (approx. 0.5 M) were used. The pH of each incubation was measured after mixing the component solutions.



Tratamientos actuales

